

**INSPECCIÓN DE LOS SISTEMAS DE PUESTA A TIERRA DE LOS EDIFICIOS
DE MEDICINA, BIBLIOTECA, PLANETARIO, QUIMICA, MECANICA Y
ELECTRICA UBICADOS EN LA
UNIVERSIDAD TECNOLOGICA DE PEREIRA**

**ANDRES FELIPE RAGA ROMERO
DANIEL ARMANDO LOAIZA HURTADO**

**UNIVERSIDAD TECNOLÓGICA DE PEREIRA
FACULTAD DE TECNOLOGIAS
PROGRAMA DE TECNOLOGÍA ELÉCTRICA
PEREIRA 2013**

**INSPECCIÓN DE LOS SISTEMAS DE PUESTA A TIERRA DE LOS EDIFICIOS
DE MEDICINA, BIBLIOTECA, PLANETARIO, QUIMICA, MECANICA Y
ELECTRICA UBICADOS EN LA
UNIVERSIDAD TECNOLOGICA DE PEREIRA**

**ANDRES FELIPE RAGA ROMERO
DANIEL ARMANDO LOAIZA HURTADO**

**Proyecto de grado
Presentado como requisito para optar el titulo de:
Tecnólogo Eléctrico**

**DIRECTOR
JORGE HUMBERTO SANZ
INGENIERO ELECTRICISTA**

**UNIVERSIDAD TECNOLÓGICA DE PEREIRA
FACULTAD DE TECNOLOGIAS
PROGRAMA DE TECNOLOGÍA ELÉCTRICA
PEREIRA 2013**

Nota de aceptación:

Firma del director del programa

Firma del director del proyecto

Firma del jurado

Pereira, Diciembre de 2012

A mis padres que a pesar de que muchos de mis resultados no fueron los mejores siempre estuvieron ahí para brindarme amor, comprensión, apoyo y mucha confianza para seguir adelante y no caer en esta batalla por cumplir más que una meta un sueño.

A mis hermanos que siempre se preocuparon por mí, sin mencionar que sus frases alentadoras me hicieron entender que los sueños sí se hacen realidad y que con esfuerzo y dedicación no hay meta o sueño inalcanzable.

A mis tías y tíos que aunque están un poco lejos también se preocuparon de una manera u otra para que yo lograra realizar muchas de mis metas.

Daniel Armando Loaiza Hurtado

A mi padre que siempre estuvo pendiente en todo mi proceso dándome fuerzas y ánimos para culminar con éxito este importante proceso de mi vida.

A mi tía Amanda quien con sus consejos siempre me impulso a continuar y no caer frente a los obstáculos que día a día se presentaron durante el desarrollo de esta meta.

Andrés Felipe Raga Romero

Agradecemos a muchos de nuestros compañeros quienes aportaron su granito de arena para hacer de este sueño una realidad, especialmente a Jesús Zamora, Leonardo Rincón y Cristian Orozco quienes estuvieron también muy pendientes de colaborarnos en lo que necesitáramos.

Dedicamos este trabajo a nuestras familias como muestra de agradecimiento por toda su dedicación y apoyo durante todos estos años de nuestras vidas.

AGRADECIMIENTOS

Siempre agradeciéndole a Dios por darnos la suficiente sabiduría, fortaleza y salud para afrontar todos los obstáculos que en cada uno de los semestres ya cursados se presentaron, por lograr uno a uno los objetivos propuestos por nuestros profesores y por nosotros mismos.

Les agradecemos a nuestros padres por estar siempre pendientes de nosotros, por confiar y alentarnos en cada una de nuestras caídas a lo largo de este ciclo o meta que estamos a punto de culminar, por celebrar junto a nosotros las buenas noticias que les llevamos en cada uno de los semestres.

Al ingeniero Jorge Humberto Sanz por darnos la oportunidad de participar en este importante proyecto, además de que nos guio en cada momento de este proceso, sin mencionar la gran ayuda que nos brindo al solucionar muchas de las dudas que se nos presentaron durante este proceso.

A todos los profesores del programa de Tecnología Eléctrica que aportaron su granito de conocimiento para que este día se hiciera realidad, sin mencionar que fueron de gran ayuda para nuestra formación académica y personal a lo largo de toda la carrera.

Por último pero no menos importante un agradecimiento a todos los compañeros que compartieron y aportaron su granito para que esto fuera posible ayudándonos de una manera u otra.

RESUMEN

La energía eléctrica es fundamental para el desarrollo de la humanidad, es por ello, que durante su generación, transmisión y distribución es necesario garantizar la seguridad de las personas y la operación normal de los equipos, ya que en la realidad al utilizar la energía surgen corrientes anormales que deben ser conducidas a tierra debido a:

1. Descargas atmosféricas
2. Fallas en el sistema eléctrico

El sistema de conexión a tierra cumple con esta función fundamental, otorgando un camino de baja resistencia a estas corrientes nocivas para su disipación a tierra antes que comprometa la seguridad de las personas involucradas o afecte a todos los componentes del sistema eléctrico.

Un sistema de conexión a tierra involucra conocer la resistividad del terreno, las diferentes configuraciones de los sistemas de distribución, el cálculo apropiado de la configuración del electrodo elegido, los lineamientos para su construcción económica y las modalidades de mantenimiento. Todo ello para mantener la resistencia en un valor referencial apropiado y los potenciales dentro de los niveles esperados.

Los datos de la resistencia del suelo son un factor clave a la hora de inspeccionar o diseñar un sistema de puesta a tierra ya que todo suelo conduce corriente eléctrica y por esta razón el sistema de puesta a tierra puede variar según la condición del suelo.

CONTENIDO

	Pág.
GLOSARIO	12
1. MÉTODOS PARA LA MEDIDA DE LA RESISTIVIDAD DEL SUELO	14
1.1 PROSPECCIÓN GEOFÍSICA.	14
1.1.1 Métodos geoelectrónicos.	15
2. MÉTODOS Y DISPOSITIVOS PARA LA MEDICIÓN DE RESISTIVIDAD DEL SUELO.....	17
2.1 MÉTODO DE LOS CUATRO ELECTRODOS.....	17
2.2 DISPOSITIVO SIMÉTRICO DE WENNER.....	19
2.3 DISPOSITIVO SIMÉTRICO DE SCHLUMBERGER.	20
2.4 DISPOSITIVO DE LEE.....	21
2.5 DISPOSITIVO RECTILÍNEO.....	22
2.6 MÉTODOS DIPOLARES.....	23
2.7 MÉTODO NO RECTILÍNEO.....	24
3. CONSIDERACIONES PRÁCTICAS SOBRE LA MEDICION DE RESISTIVIDAD DE SUELOS.....	25
3.1 PLANEACIÓN.	25
3.2 PROTOCOLOS DE MEDICIÓN.	25
4. RESISTENCIA DE PUESTA A TIERRA.....	29
4.1 LA RESISTENCIA DE PUESTA A TIERRA.	29
4.2 MÉTODOS DE MEDICIÓN DE RESISTENCIA DE PUESTA A TIERRA.	30
4.2.1 Método de la caída de potencial (fall of potential).	31
4.2.1.1 Distribución de potenciales en el suelo.	31
4.2.1.2 Posición de los electrodos de medición auxiliares.	33
4.2.1.3 Consideraciones prácticas en la implementación.	37
4.2.2 Método de triangulación o de los tres puntos.....	39
4.2.2.1 Consideraciones prácticas en la implementación.	40
4.2.3 Método de la intersección de curvas.....	40
4.2.3.1 Consideraciones prácticas en la implementación.	43
4.2.4 Método de la pendiente.....	44

4.2.4.1	Consideraciones prácticas en la implementación.	45
4.3	CONSIDERACIONES PRÁCTICAS SOBRE LAS MEDICIONES DE RESISTENCIA EN SISTEMAS DE PUESTA A TIERRA.	48
4.3.1	Normas de seguridad.	48
4.3.2	Aspectos de seguridad y preparación para las pruebas.	48
4.4	FACTORES QUE AFECTAN LAS MEDICIONES DE SISTEMAS DE PUESTA A TIERRA.	49
4.4.1	Antecedentes de tensión y ruido resultado de acoplamientos	49
4.4.2	Interferencia electromagnética resultado de acoplamientos	50
4.4.3	Consideraciones durante la medición.	50
4.5	PROTOCOLOS DE CERTIFICACIÓN Y MEDICIÓN DE SISTEMAS DE PUESTA A TIERRA.	52
4.5.1	Protocolo de certificación de un sistema de puesta a tierra.	52
4.5.2	Protocolo de medición de resistencia de puesta a tierra.	56
5.	INFORMACION PARA CADA EDIFICIO NOMBRADO.	58
5.1	SITIO DE ESTUDIO: EDIFICIO DE ELÉCTRICA	59
5.2	SITIO DE ESTUDIO: EDIFICIO DE BIBLIOTECA MALLA PRINCIPAL ...	61
5.3	SITIO DE ESTUDIO: EDIFICIO DE BIBLIOTECA TRANSFORMADOR..	63
5.4	SITIO DE ESTUDIO: EDIFICIO DE BIBLIOTECA PARTE POSTERIOR.	65
5.5	SITIO DE ESTUDIO: EDIFICIO DE QUÍMICA.	67
5.6	SITIO DE ESTUDIO: EDIFICIO DE MECÁNICA.	69
5.7	SITIO DE ESTUDIO: EDIFICIO DE MEDICINA.	71
5.8	SITIO DE ESTUDIO: EDIFICIO DEL PLANETARIO.	73
5.9	SITIO DE ESTUDIO: EDIFICIO DE BIBLIOTECA JARDIN INTERNO.....	75
6.	EQUIPO UTILIZADO EN EL ESTUDIO	77
7.	INFORMACIÓN DEL DISCO ANEXO	80
8.	CONCLUSIONES.	81
9.	BIBLIOGRAFIA	82

LISTA DE TABLAS

Pág

Tabla 1 - Distancias de ubicación de los electrodos de medición N y emisión B en función de la máxima longitud del SPT a medir por el método de la caída de potencial y aplicando la regla del 61,8%.....39

Tabla 2 - Valores de $\frac{P_T}{C}$ para diferentes valores de μ47

LISTA DE FIGURAS

	Pág.
Figura 1 - Dispositivo de cuatro electrodos.....	17
Figura 2 - Esquema del dispositivo simétrico de Wenner	19
Figura 3 - Esquema del dispositivo simétrico de Schlumberger.....	21
Figura 4 - Esquema del dispositivo simétrico de Lee.....	22
Figura 5 - Esquema del dispositivo rectilíneo.....	22
Figura 6 - Esquema del dispositivo no rectilíneo.....	24
Figura 7 - Formato de perfil de resistividad.....	27
Figura 8 - Formato de perfil de resistividad que adopto el laboratorio	28
Figura 9 - Principio de medición de un sistema de puesta a tierra.....	30
Figura 10 - Distribución de potenciales en el suelo.....	32
Figura 11 - Curvas de resistencias obtenidas a partir de diferentes distancias entre el electrodo de emisión y medición.	33
Figura 12 - Posicionamiento de los electrodos para la medición de la resistencia de puesta a tierra por el método de caída de potencial.	34
Figura 13 - Configuración para la medida de la resistencia de puesta a tierra.	35
Figura 14 - Método de la caída de potencial aplicando la regla del 61,8%	38
Figura 15 - Método de triangulación o de los tres puntos	39
Figura 16 - a) Método de la intersección de curvas. b) Curva de resistencia para grandes sistemas de puesta a tierra.	42
Figura 17 - Método de intersección de curvas	43
Figura 18 - Puntos de localización del electrodo de medición para el método de la pendiente.	46
Figura 19 - Protocolo de certificación de un sistema de puesta a tierra.....	55
Figura 20 - Formato para la medida de la resistencia de puesta a tierra.	57
Figura 21 - Diferencias de potenciales.....	76
Figura 22 - Equipo AEMC 4500 y accesorios	77
Figura 23 - Equipo auxiliar para realizar pruebas.	79

LISTA DE ANEXOS

- Anexo A - Perfil de resistividad del terreno edificio eléctrica
- Anexo AF - Información técnica de los equipos de medida aemc4500
- Anexo B - Valor de la resistencia de puesta a tierra edificio eléctrica
- Anexo C - Valor de la resistencia de puesta a tierra edificio planetario
- Anexo D - Perfil de resistividad del terreno edificio planetario
- Anexo E - Valor de la resistencia de puesta a tierra edificio biblioteca parte posterior
- Anexo F - Perfil de resistividad del terreno edificio de biblioteca parte posterior
- Anexo G - Valor de la resistencia de puesta a tierra edificio mecánica
- Anexo H - Perfil de resistividad edificio de mecánica
- Anexo I - Valor de la resistencia de puesta a tierra edificio de medicina
- Anexo J - Perfil de resistividad del terreno edificio de medicina
- Anexo K - Perfil de resistividad del terreno edificio de biblioteca (Transformador)
- Anexo L - Valor de la resistencia de puesta a tierra edificio biblioteca (Transformador)
- Anexo M - Valor de la resistencia de puesta a tierra edificio biblioteca (Malla principal)
- Anexo N - Perfil de resistividad del terreno edificio de biblioteca (Malla principal)
- Anexo O - Valor de la resistencia de puesta a tierra edificio de química.

GLOSARIO

Conductor del Electrodo de Puesta Tierra (Grounding Electrode Conductor): Conductor que es intencionalmente conectado a una puesta a tierra, sólidamente para distribuir la tierra a diferentes sitios de una instalación.

Electrodo de Puesta a Tierra (Grounding Electrode): Conductor en íntimo contacto con el suelo, para proporcionar una conexión eléctrica con el terreno. Puede ser una varilla, tubo, placa, cinta, o cable.

Potencial Eléctrico: Es la diferencia de voltaje entre un punto y alguna superficie equipotencial que generalmente es la superficie del suelo, la cual es seleccionada arbitrariamente como de potencial cero o tierra remota. Un punto el cual tiene un potencial más alto que el cero se llama potencial positivo y en caso contrario potencial negativo.

Puesta a tierra (Grounding): Grupo de elementos conductores equipotenciales, en contacto eléctrico con el suelo o una masa metálica de referencia común, que distribuyen las corrientes eléctricas de falla en el suelo o en la masa. Comprende: Electrodos, conexiones y cables enterrados. También se le conoce como toma de tierra o conexión a tierra.

Puesto a Tierra (Grounded): Toda conexión intencional o accidental del sistema eléctrico con un elemento considerado como una puesta a tierra. Se aplica a todo equipo o parte de una instalación eléctrica (neutro, centro de estrella de transformadores o generadores, carcasas, incluso una fase para sistemas en delta, entre otros), que posee una conexión intencional o accidental con un elemento considerado como puesta a tierra.

Resistividad Aparente: Es la resistividad obtenida con una medida directa en el suelo natural, bajo el esquema geométrico especificado por el método de cuatro (4) electrodos, aplicado con circuitos independientes de corriente y potencial, sólo es representativo para un punto de la característica del suelo estratificado.

Resistividad del Suelo: Representa la resistencia específica del suelo a cierta profundidad, o de un estrato del suelo; se obtiene indirectamente al procesar un grupo de medidas de campo; su magnitud se expresa en (Ohm-m) o (Ohm-cm), es inversa a la conductividad. La resistividad eléctrica (ρ): Es la relación entre la

diferencia de potencial en un material y la densidad de corriente que resulta en el mismo. Es la resistencia específica de una sustancia. Numéricamente es la resistencia ofrecida por un cubo de 1m x 1m x 1m, medida entre dos caras opuestas.

Resistencia Mutua de Electroodos: Fenómeno resistivo que aparece entre electrodos de puesta a tierra o puntos próximos en el suelo, mediante el cual, la corriente que se dispersa a través de uno de ellos, modifica el potencial del otro. Su unidad es el (Ohm).

Sistema de Puesta a Tierra (Grounding System): Conjunto de elementos conductores de un sistema eléctrico específico, sin interrupciones ni fusibles, que unen los equipos eléctricos con el suelo o terreno. Comprende la puesta a tierra y todos los elementos puestos a tierra.

Suelo: Sistema natural, resultado de procesos físicos, químicos y biológicos, con componentes principalmente minerales y sólidos inertes que le dan estabilidad, en conjunto con líquidos y gases que definen su comportamiento eléctrico.

Tierra (Ground o Earth): Para sistemas eléctricos, es una expresión que generaliza todo lo referente a sistemas de puesta a tierra. En temas eléctricos se asocia a suelo, terreno, tierra, masa, chasis, carcasa, armazón, estructura o tubería de agua. El término “masa” solo debe utilizarse para aquellos casos en que no es el suelo, como en los aviones, los barcos, los carros y otros.

Tierra Remota: También denominada Tierra de Referencia, es el lugar o la zona de mínima resistencia, más próxima del suelo subyacente a una instalación eléctrica o a una puesta a tierra, respecto de las cuales se le atribuye por convención el Potencial cero.

1. MÉTODOS PARA LA MEDIDA DE LA RESISTIVIDAD DEL SUELO

Las puestas a tierra son sistemas que tienen gran importancia en la protección y normal operación de los diversos sistemas eléctricos y electrónicos, y principalmente en la seguridad de las personas que están en contacto o en áreas de influencia de sistemas eléctricos.

Para iniciar el diseño de un sistema de puesta a tierra es necesario conocer la resistividad del suelo donde se implementará el sistema de puesta a tierra. Este valor influye sustancialmente en el diseño, puesto que su valor determinará la utilización de mayor área para el sistema que permita obtener una baja de resistencia de puesta a tierra y tensiones de paso y de contacto dentro de los rangos permitidos.

Se ilustraran las diferentes técnicas de medición de resistividad de suelos más utilizadas, pero no se pretende únicamente explicar los diversos métodos de medición de este tipo, sino también la correcta aplicación de los mismos y una visión más amplia de lo que son las mediciones.

1.1 PROSPECCIÓN GEOFÍSICA.

La geofísica, es la rama de la ciencia que aplica los principios físicos al estudio de la Tierra. La geofísica envuelve el estudio de aquellas partes de la tierra escondidas a primera vista, es decir que están dentro de la tierra. Estos estudios son hechos por mediciones de las propiedades físicas de la tierra con instrumentos apropiados, mediciones que se hacen sobre la superficie de la tierra, entre los más utilizados están:

- Gravimétrico.
- Magnético
- Eléctrico. El cual tiene las siguientes variantes:
 - Resistividad.
 - Autopotencial.
 - Polarización inducida
 - Magnetotelúrico
 - Sísmico (Reflexión y refracción)
 - Radiactivo.

Obviamente esto incluye la interpretación de las mediciones, para obtener la información útil sobre la estructura y composición de zonas encubiertas.

1.1.1 Métodos geoelectricos.

Existen muchísimas modalidades en los métodos de exploración eléctrica del subsuelo, cada una de ellas con su propio campo de aplicación, sus ventajas y sus defectos.

Un criterio muy importante es el que clasifica los métodos según el campo electromagnético que en ellos se estudia, ya sea de origen natural, o creado artificialmente para la prospección.

Otro criterio es el que considera si la información recogida se refiere a la vertical de un punto o se distribuye a lo largo de un perfil, dentro de un margen de profundidades aproximadamente constante. Por analogía con las labores mecánicas mineras los métodos se llaman de Sondeo en el primer caso y de Calicata (o cartografía) eléctrica en el segundo. Estos métodos se complementan hasta cierto punto, pero la cartografía es más importante en la prospección minera.

En la mayoría de los casos, lo que se obtiene es la distribución de las resistividades en el subsuelo. Cuando tal distribución se representa gráficamente en forma de corte vertical, esta representación recibe el nombre de corte geoelectrico.

También es de interés conocer si en un método determinado el campo electromagnético es constante (corriente continua) o varía en el transcurso del tiempo (métodos de campos variables). Es costumbre muy extendida, aunque incorrecta, llamar "métodos eléctricos" a los primeros y "electromagnéticos" a los segundos. En conclusión todos son electromagnéticos.

Teniendo en cuenta lo anterior se da a continuación una clasificación de los métodos geoelectricos, que si bien no es completo, contiene los más importantes y difundidos.

Estos procedimientos prospectivos suelen aplicarse por medio de observaciones efectuadas en la superficie del terreno, pero algunos de ellos son susceptibles de

ser empleados desde aviones o helicópteros, en la superficie del mar o de lagos, o en el interior de las minas.

La siguiente es una clasificación de los métodos:

Métodos de campo natural.

- Método de potencial espontáneo
- Método de corrientes telúricas.
- Método magneto – telúrico

Métodos de campo artificial.

Métodos de campo constante C.C.

- Método de las líneas equipotenciales y del cuerpo cargado.
- Sondeos eléctricos (Simétricos, dipolares, etc.)
- Calicatas eléctricas (Muchas modalidades).
- Medición magnética de resistividades.

Métodos de campo variable.

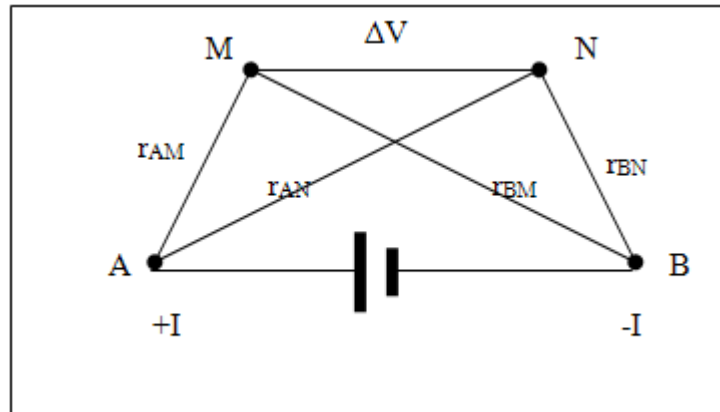
- Sondeos de frecuencia.
- Sondeos por establecimiento de campo (Transitorios).
- Calicatas electromagnéticas (Métodos de Inclinación de campo, Turam, Slingram, etc.).
- Método “Radio - Kip”
- Método de Radiografía hertziana.

2. MÉTODOS Y DISPOSITIVOS PARA LA MEDICIÓN DE RESISTIVIDAD DEL SUELO

2.1 MÉTODO DE LOS CUATRO ELECTRODOS.

Para trabajar con estos métodos, se crea un campo eléctrico mediante dos electrodos o puntos colocados a tierra A y B. A través de estos electrodos o tomas a tierra, se introduce en el terreno una corriente eléctrica de intensidad I , de cualquier fuente de corriente continua. Entre dos puntos del terreno y con ayuda de dos electrodos M y N de medición, situando en estos puntos un instrumento de medida (milvoltímetro, potenciómetro, etc.), el cual medirá las diferencias de potenciales ΔV , que surgen. La disposición relativa de los electrodos A, B, M y N, que conforman el dispositivo, se determina el método empleado de acuerdo al carácter del problema geológico a resolver.

Figura 1 - Dispositivo de cuatro electrodos.



Se puede demostrar que en un terreno suelo uniforme al cual se le ha hecho circular una corriente I por medio de una puesta a tierra el voltaje en cualquier punto “ r ” alrededor de ésta es igual a:

$$V_{s-t} = \frac{\rho I}{2\pi \cdot r} \quad (1)$$

Cuando t tiende al infinito.

$$V_{A-M} = \frac{\rho I}{2\pi \cdot r_{A-M}} \quad , \quad V_{B-M} = -\frac{\rho I}{2\pi \cdot r_{B-M}} \quad (2)$$

La tensión total en el punto M es igual a:

$$V_M = \frac{\rho I}{2\pi} \left(\frac{1}{r_{A-M}} - \frac{1}{r_{B-M}} \right) \quad (3)$$

De forma análoga para el punto N se tiene que:

$$V_N = \frac{\rho I}{2\pi} \left(\frac{1}{r_{A-N}} - \frac{1}{r_{B-N}} \right) \quad (4)$$

La diferencia de potencial entre los puntos M y N es:

$$\Delta V = V_{M-N} = \frac{\rho I}{2\pi} \left(\frac{1}{r_{A-M}} - \frac{1}{r_{B-M}} - \frac{1}{r_{A-N}} + \frac{1}{r_{B-N}} \right) \quad (5)$$

Finalmente el valor de la resistividad se puede expresar en función de la diferencia de potencial leída entre los puntos M y N.

$$\rho = \frac{\Delta V}{I} \frac{2\pi}{\left(\frac{1}{r_{A-N}} - \frac{1}{r_{B-N}} - \frac{1}{r_{A-N}} + \frac{1}{r_{B-N}} \right)} \quad (6)$$

$$\rho = K \frac{\Delta V}{I} \quad (7)$$

$$K = \frac{2\pi}{\left(\frac{1}{r_{A-N}} - \frac{1}{r_{B-N}} - \frac{1}{r_{A-N}} + \frac{1}{r_{B-N}} \right)} \quad (8)$$

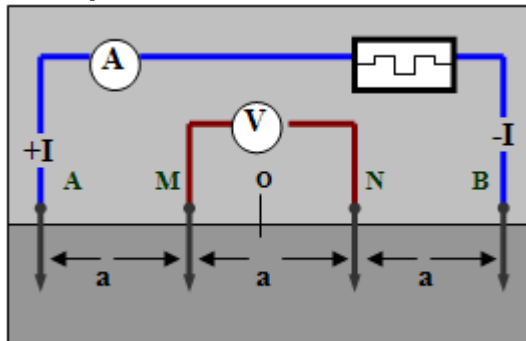
La magnitud K se determina por la distancia y la configuración o disposición de los electrodos o tomas de tierra del dispositivo, y se denomina coeficiente del dispositivo.

Obviamente el coeficiente del dispositivo tiene dimensiones de longitud; en este caso, en el resultado del cálculo tan solo se obtiene una cierta magnitud arbitraria que tiene las dimensiones de una resistividad. A esta magnitud arbitraria se le denomina resistividad aparente y se designa por ρ_a .

2.2 DISPOSITIVO SIMÉTRICO DE WENNER.

Este dispositivo consta de cuatro electrodos, A, B de emisión y M, N de medición, dispuestos en línea recta, cada electrodo está separado a una distancia “a”, la cual es la misma entre todos los electrodos. Para poder determinar la simetría entre los diferentes electrodos, se debe escoger un punto de referencia “0” del sistema, este punto también es denominado “punto de exploración”, puesto que dependiendo de las condiciones del terreno, la distancia entre los electrodos de emisión, la frecuencia del equipo de medición, etc., este punto llegará a ser el punto de máxima exploración.

Figura 2 - Esquema del dispositivo simétrico de Wenner



Para hallar el valor del coeficiente K del dispositivo, se realizaron las siguientes operaciones y consideraciones:

Se determinaron las distancias que hay entre los electrodos de emisión respecto a los de medición:

$$r_{AM} = a, r_{AN} = 2a, r_{BN} = a, r_{BM} = 2a.$$

Aplicando la ecuación 5 y simplificando se tiene:

$$\Delta V = V_{M-N} = \frac{\rho I}{2\pi} \left(\frac{1}{a} - \frac{1}{2a} - \frac{1}{2a} + \frac{1}{a} \right) = \frac{\rho I}{2\pi} \left(\frac{1}{a} \right)$$

Se puede deducir que el valor de K es igual a:

$$K = \frac{1}{a}$$

Si se tiene en cuenta que: $R = \frac{\Delta V}{I}$ (Ley de Ohm) se puede escribir el valor de la resistividad medida como:

$$\rho = 2\pi a R \quad (9)$$

La formulación que originalmente hizo Wenner en 1915 de su método establece además de los espaciamientos entre electrodos ya mencionados las siguientes consideraciones:

1. El diámetro de los orificios donde se colocan los electrodos, no debe ser mayor del 10% de la distancia entre los electrodos.
2. La profundidad a la cual se debe enterrar los electrodos no debe ser mayor al 5% del diámetro de este.
3. El electrodo debe estar conectado con la tierra únicamente en el fondo del orificio.

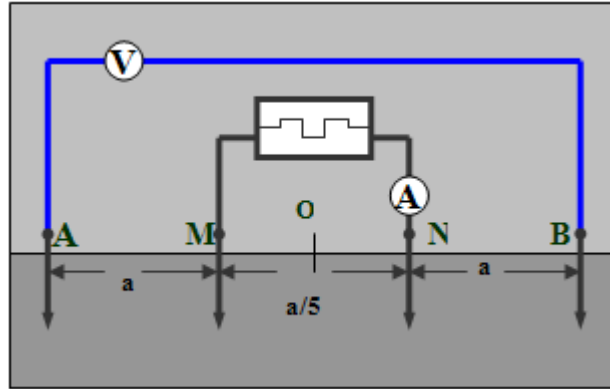
Teniendo en cuenta la simetría del arreglo de Wenner podemos realizar cambios en la disposición de los electrodos de emisión y los electrodos de medición, el cambio de los electrodos se puede hacer sin alterar el valor de la medición de resistividad (siempre y cuando la porción del suelo bajo prueba sea completamente homogéneo) y teniendo en cuenta el coeficiente de dicho dispositivo el cual dependiendo de la disposición de los electrodos cambiará de valor, igualmente debemos tener en cuenta que el punto de referencia, en comparación con la formulación original de Wenner, en cada caso será la mitad de la distancia entre los electrodos exteriores, pero el punto de exploración deja de ser este mismo puesto que los electrodos de emisión están dispuestos en forma distinta, el punto de exploración como se ve depende de la ubicación de los electrodos de emisión y obviamente de los parámetros mencionados al iniciar el estudio de este método.

2.3 DISPOSITIVO SIMÉTRICO DE SCHLUMBERGER.

En este dispositivo al igual que en el de Wenner, los electrodos de emisión y medición están situados en línea recta y ubicando un punto de referencia; la variante de este dispositivo está en que la distancia entre los electrodos de medición M y N debe ser menor que un tercio de la distancia entre los electrodos de emisión A y B $r_{AB} \lll \frac{r_{MN}}{3}$, para mayor seguridad se adopta que la distancia

entre los electrodos de medición M y N debe ser la quinta parte de la distancia entre los electrodos de emisión $r_{AB} \lll \frac{r_{MN}}{5}$.

Figura 3 - Esquema del dispositivo simétrico de Schlumberger.



La ecuación que define el valor de la resistividad es:

$$\rho = 6\pi \cdot a \cdot R \quad (10)$$

2.4 DISPOSITIVO DE LEE.

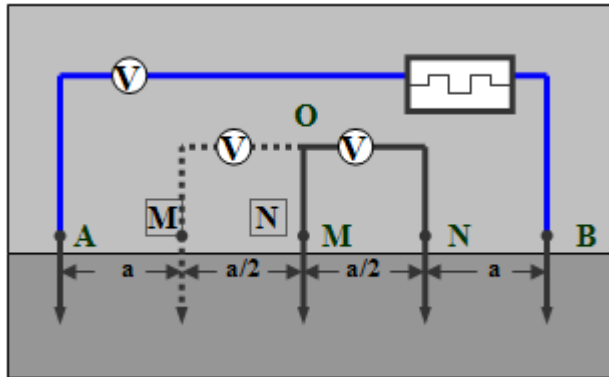
Es una variante del dispositivo de Wenner, en la cual se dispone en el punto de referencia "O" del dispositivo un electrodo adicional de medición, en el cual el valor del potencial es cero. Las diferencias de potencial son medidas primero entre los electrodos M y O, y después entre los electrodos N y O.

Partiendo de las diferencias de potencial ΔV_1 y ΔV_2 entre el electrodo central y cada uno de los electrodos de medición, se obtienen dos resistividades aparentes, dadas por:

$$\rho_1 = 4\pi \cdot a \cdot \frac{\Delta V_1}{I}, \quad \rho_2 = 4\pi \cdot a \cdot \frac{\Delta V_2}{I} \quad (11)$$

Las cuales pertenecen a las respectivas mitades del espacio de ambos lados del plano medio. Obviamente si omitimos el electrodo del centro el valor de la resistividad será el mismo que obtuvimos en el método de Wenner (Ecuación 9). Si los resultados de las mediciones entre los electrodos M – 0 y N – 0 son diferentes podemos decir con seguridad que el área del suelo en estudio es no homogénea.

Figura 4 - Esquema del dispositivo simétrico de Lee.

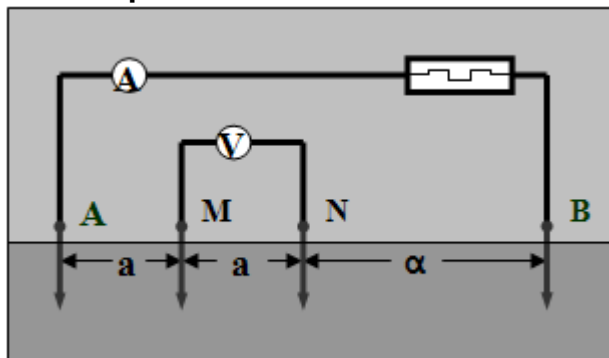


Con la ayuda de otros sondeos hechos espaciando más la distancia entre los electrodos, en este caso a , o por mover de sitio la localización de todo el sistema de electrodos, pueden ser hechas deducciones, por ejemplo, para la posición y la naturaleza de la homogeneidad y no homogeneidad del suelo en estudio, y se puede deducir, por lo menos, la cantidad de capas no homogéneas y sus diferencias. En este método los resultados de las diferentes resistividades serán de las capas horizontales más no de las verticales

2.5 DISPOSITIVO RECTILÍNEO.

En este dispositivo, llevamos uno de los electrodos de emisión (por ejemplo B) a una distancia tal que la diferencia de potencial creada por dicho electrodo entre los electrodos de medición sea pequeña en comparación con la diferencia de potencial creada por el segundo electrodo de emisión. En este caso, el campo del electrodo alejado puede despreciarse. El dispositivo, en el que uno de los electrodos de emisión está alejado a gran distancia (traslado al infinito) se denomina trielectrónico.

Figura 5 - Esquema del dispositivo rectilíneo.



La distancia hasta el electrodo de emisión que se proyecta al infinito se debe colocar a 15 veces la distancia entre el centro de la línea de medición y los electrodos A o B, según el electrodo elegido. Basándose en este concepto podemos determinar el valor de la resistividad aparente de la siguiente forma:

$$\rho = 4\pi a R, \quad \text{si } a > 20p \quad (12)$$

$$\rho = 8\pi a R, \quad \text{si } a < 20p \quad (13)$$

2.6 MÉTODOS DIPOLARES.

Los arreglos dipolares constituyen una familia muy importante, caracterizada porque en ellos los electrodos de emisión A y B están lo suficientemente próximos entre sí respecto a la distancia a que se miden sus efectos para que puedan considerarse como un dipolo. Se tienen en estos arreglos dos dipolos, el AB de emisión y el MN de medición, cuya posición mutua puede ser en un principio cualquiera. Se pueden tener:

1. Arreglo paralelo, como indica su nombre los dipolos son paralelos.
2. Arreglo perpendicular, los dos dipolos forman un ángulo recto.
3. Arreglo radial, el dipolo MN se encuentra situado sobre una recta que une los centros de ambos dipolos.
4. Arreglo azimutal, el dipolo MN es perpendicular a la recta que une los centros de ambos dipolos.
5. Arreglo axil, en este arreglo los cuatro electrodos están en la misma recta. Este dispositivo es, simultáneamente paralelo y radial. En Norte América, este dispositivo se denomina a veces como “dispositivo Eltran” o “dipolo – dipolo”. Esta última denominación es totalmente ambigua, puede ser aplicable a cualquier dispositivo dipolar.
6. Arreglo ecuatorial, es a un tiempo paralelo y azimutal, de modo que ambos dipolos son paralelos entre sí, y perpendiculares al eje que pasa por sus centros. El nombre de este arreglo, que puede parecer extraño, alude a que el centro del dipolo MN se encuentra en el plano ecuatorial de los dos polos A y B.

No obstante, de toda esta variedad de arreglos, la configuración dipolar axil y dipolar ecuatorial, por sus propiedades, merecen atención especial y son las más empleadas en la práctica.

En la aplicación práctica, del dispositivo dipolar axial las distancias entre dipolos de emisión y de medición no deben superar la quinta parte de la distancia “ a ”, que es la distancia entre los dos centros de los dipolos; es decir:

$$AB \leq \frac{a}{5} \Rightarrow MN \leq \frac{a}{5} \quad (14)$$

En virtud de esto se puede determinar el valor del coeficiente del dispositivo como:

$$K = \frac{1}{24.a} \quad (15)$$

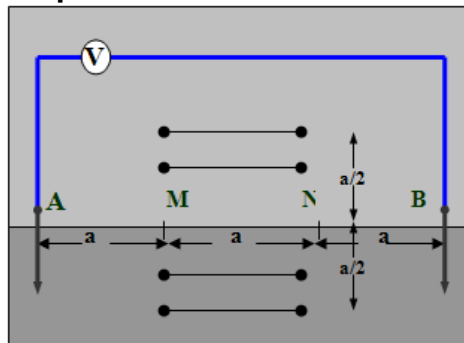
El valor de la resistividad aparente se calcula como:

$$\rho = 24.\pi.a.R \quad (16)$$

2.7 MÉTODO NO RECTILÍNEO.

En este método, los electrodos de medición, se sitúan a lo largo de rectas paralelas a la línea AB, dentro de los límites de un cuadrado cuyo lado no debe exceder de $AB/3$. En la superficie limitada de esta forma, el campo normal de los electrodos A y B es prácticamente homogéneo. El coeficiente del dispositivo aunque tenga los electrodos de medición fuera de la línea creada por A y B es el mismo de Wenner y el valor de la resistividad es, por supuesto, el mismo hallado para Wenner.

Figura 6 - Esquema del dispositivo no rectilíneo.



El valor de la resistividad entonces se determina así:

$$\rho = 2.\pi.a.R$$

3. CONSIDERACIONES PRÁCTICAS SOBRE LA MEDICION DE RESISTIVIDAD DE SUELOS

3.1 PLANEACIÓN.

En todas las etapas de un trabajo de mediciones, y aún más en las de este tipo, en ocasiones no son realizadas en zonas urbanas, y debido a esto se deben tomar las precauciones necesarias para conseguir la máxima calidad en los resultados finales. Independientemente de esto debe procurarse, por motivos económicos, reducir al mínimo la duración y costos de una medición o campaña de mediciones.

Las etapas principales que componen una medición básica son:

1. Planteamiento del problema: Recopilación de datos geológicos que se obtienen en la zona.
2. Elección del modelo de medición: Esto se hace en función del objetivo que se quiere alcanzar y sus circunstancias.
3. Programación detallada del trabajo de campo.
4. Ejecución del trabajo de campo.
5. Recopilación y elaboración de los datos recopilados: Comprende la interpretación de los datos y resultados anteriores, seguida de las conclusiones y recomendaciones pertinentes.
6. Informe final y certificación de la medición.

3.2 PROTOCOLOS DE MEDICIÓN.

La correcta anotación de las observaciones del trabajo de campo es uno de los factores que más influyen en la calidad de los resultados finales.

La importancia del protocolo de mediciones se constituye en que es un documento fiel del trabajo de campo y en últimas en el quedan constatados los datos obtenidos de las mediciones en el terreno, de nada serviría realizar una gran campaña de mediciones o buenas mediciones si no quedan constatados para que puedan ser utilizados en el futuro.

La lectura de la medición debe ser registrada fielmente, pero este solo es un eslabón en la cadena de datos que deben ser registrados, otros datos que a primera vista parecen secundarios, pero tienen gran importancia para la persona que interpreta los datos (si es que la persona que realiza las mediciones no elabora los documentos), especialmente cuando esté trabaja en una oficina alejada de la zona de trabajo, que es la tendencia actual. Tanto la persona que realiza las mediciones como el interpretador deben tener claro que los datos

obtenidos de la medición son correctos o no, para poder así evitar errores y gastos innecesarios para la persona que diseña el sistema de puesta a tierra y luego la persona que aplica los trabajos de construcción de dicho sistema.

Los datos necesarios para un protocolo de medición de resistividad de suelos deben contener como mínimo lo que se muestra en el siguiente formato: (Ver Figura 7)

Figura 7 - Formato de perfil de resistividad.

UNIVERSIDAD TECNOLÓGICA DE PEREIRA						
Estudio de Resistividad del suelo						
Empresa:				Datos		
Ciudad:				Color del suelo:		
Ubicación:				Estado del terreno:		
Departamento:				Fecha de medición:		
Responsable de la medida:				Método de medición:	Wenner	
Sentido de la medición	Ultimo día lluvioso	Tipo de Terreno	Profundidad de exploracion (m)	Separación de los electrodos (m)	Resistencia medida	Resistividad (Ohmios/m)
			0,8	1		
			1,5	2		
			2,3	3		
N - S		Humus	3,0	4		
			3,8	5		
			4,5	6		
			5,3	7		
			6,0	8		
			0,8	1		
			1,5	2		
			2,3	3		
E - O			3,0	4		
			3,8	5		
			4,5	6		
			5,3	7		
			6,0	8		
VALORES PROMEDIOS			0,8	1		
			1,5	2		
			2,3	3		
			3,0	4		
			3,8	5		
			4,5	6		
			5,3	7		
6,0	8					

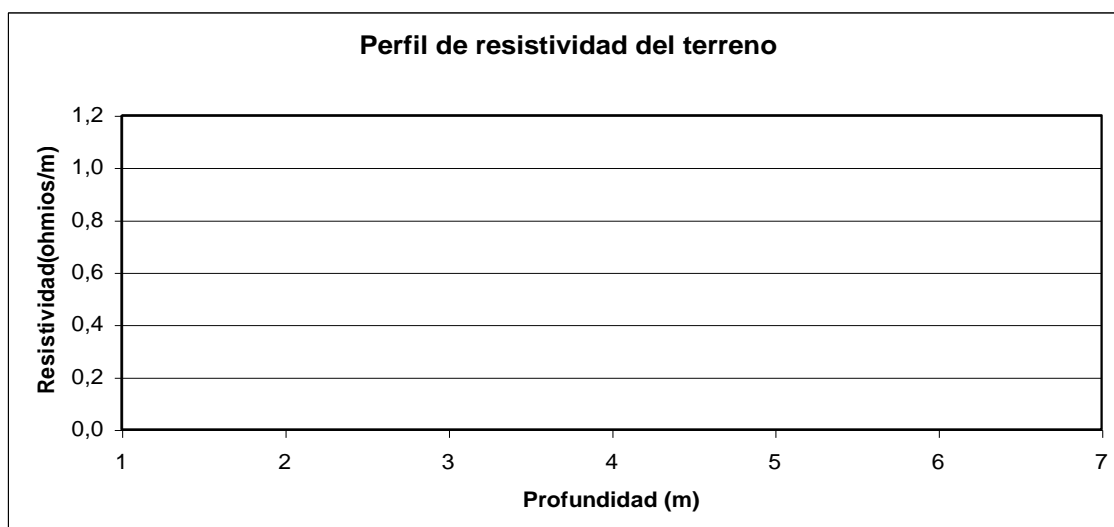


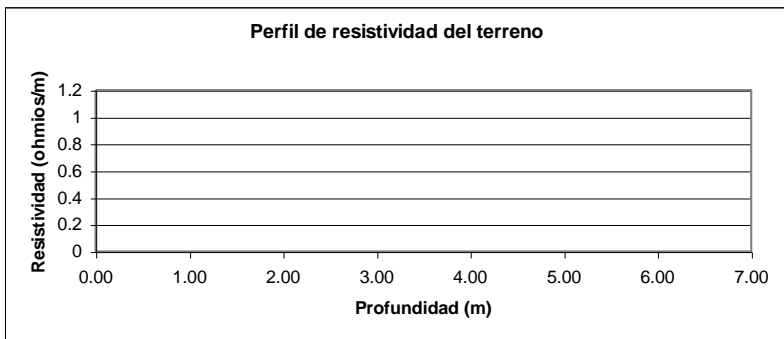
Figura 8 - Formato de perfil de resistividad que adopto el laboratorio

UNIVERSIDAD TECNOLÓGICA DE PEREIRA	
Estudio de Resistividad del suelo	
Datos del sitio	Condiciones del suelo
Fecha de medición: _____	Color del suelo: _____
Empresa: _____	Tipo de terreno: _____
Ciudad: _____	Último día lluvioso: _____
Ubicación: _____	Temperatura: _____
Departamento: _____	pH: _____

Datos del equipo de medición	Accesorios de medición
Marca: _____	Electrodos: _____
Frecuencia : _____	Tipo de cable: _____

Método de medición: WENNER	Observaciones
	 Responsable de la medición _____

Sentido de la medición	Profundidad de exploración (m)	Separación de electrodos a (m)	Corriente de prueba (mA)	Escala de medición (Ω)	Resistencia medida (Ω)	Resistividad (Ω -m)
N-S	0.75	1				
	1.50	2				
	2.25	3				
	3.00	4				
	3.75	5				
	4.50	6				
	5.25	7				
	6.00	8				
E-O	0.75	1				
	1.50	2				
	2.25	3				
	3.00	4				
	3.75	5				
	4.50	6				
	5.25	7				
	6.00	8				



Valores promedios	
Profundidad de exploración (m)	Resistividad (Ω -m)
0.75	
1.50	
2.25	
3.00	
3.75	
4.50	
5.25	
6.00	

4. RESISTENCIA DE PUESTA A TIERRA

Luego del estudio de la resistividad del suelo del sitio en el cual se construirá el respectivo sistema de puesta a tierra, el paso siguiente es el diseño de dicho sistema teniendo en cuenta todos los parámetros que se necesitan para su construcción. Luego de todo esto se alcanza la etapa que ha de constituir la verdadera validación a cualquier instalación de puesta a tierra, la medición de la resistencia de puesta a tierra.

Sin la medición de resistencia ningún sistema de puesta a tierra tiene validez alguna, puesto que este valor de resistencia proporciona una buena referencia sobre la aproximación alcanzada, respecto a la realidad, como resultado de las consideraciones teóricas que se hayan utilizado en el cálculo del sistema de puesta a tierra y que condiciona los valores de las tensiones de paso y de contacto que puedan surgir cuando circule una corriente de falla. Solo así se tendrá una garantía razonable de que la instalación pueda ser considerada como segura, desde el punto de vista de su sistema de puesta a tierra.

En el desarrollo de este capítulo se describirán algunos de los métodos que más se utilizan para la medida de la resistencia de puesta a tierra, como también la correcta aplicación de los mismos y una visión más amplia de cómo se hacen las mediciones.

4.1 LA RESISTENCIA DE PUESTA A TIERRA.

La resistencia de puesta a tierra o resistencia de dispersión de tierra se denomina generalmente como “la resistencia del suelo, o de una porción del suelo, al paso de una corriente de tipo eléctrico”. En la actualidad se reconoce que el suelo es un conductor de corriente eléctrica, pero comparado con diferentes tipos de metales la conducción de corriente que ofrece el suelo es pobre. Sin embargo, si el área del camino que toma la corriente es grande, la resistencia puede ser bastante baja y la tierra puede ser un camino de baja resistencia.

Las mediciones de resistencia de un sistema de puesta a tierra son hechas con dos fines básicos de uso:

1. Determinar la efectividad del sistema de puesta a tierra y las conexiones que son utilizadas en los sistemas eléctricos para proteger las personas y equipos eléctricos que dependen de las mismas.

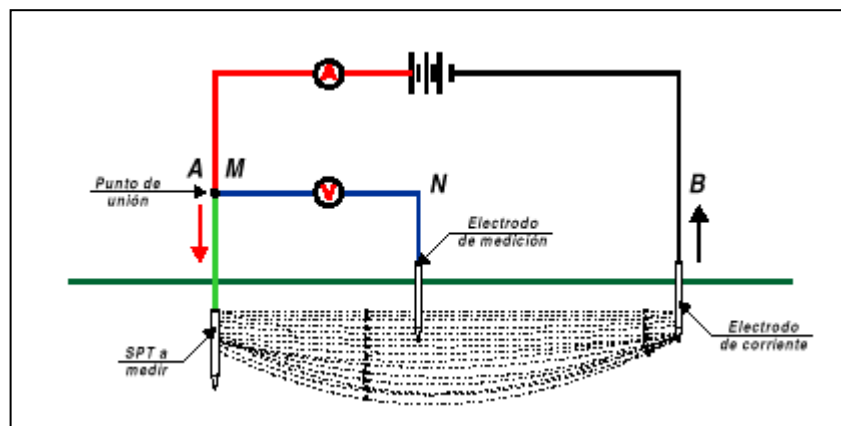
2. Permitir detectar la elevación de potencial del sistema de puesta a tierra, la seguridad de la conexión a tierra y la variación de la composición y estado físico del suelo.

La resistencia de puesta a tierra se entiende como la razón entre el potencial del sistema de puesta a tierra que se desea medir, con relación a un punto teóricamente ubicado en el infinito, respecto al que se desea medir, el cual se denomina tierra remota y la corriente que se hace fluir entre estos puntos. En la práctica se sabe que casi todo este potencial (cerca del 98%) se localiza a una distancia no muy lejana de la puesta a tierra a medir y se puede considerar este punto aproximadamente como la tierra remota. Partiendo de esta simple teoría comienza la dificultad que representan las mediciones de la resistencia de puesta a tierra.

La impedancia de un sistema de puesta a tierra se reduce a su resistencia al no intervenir efectos inductivos y capacitivos más que para los frentes de ondas de corriente muy escarpados, de forma que en la práctica solamente se presentan efectos inductivos en el caso de conductores enterrados de grandes longitudes y capacitivos cuando se trata de terrenos rocosos, de resistividad demasiado alta.

4.2 MÉTODOS DE MEDICIÓN DE RESISTENCIA DE PUESTA A TIERRA.

Figura 9 - Principio de medición de un sistema de puesta a tierra.



Se han desarrollado muchos métodos para medir la resistencia de puesta a tierra, pero todos se basan en un mismo principio, hacer circular una corriente por el suelo desde el sistema de puesta a tierra hasta un electrodo de emisión y leer la distribución de la tensión sobre la superficie del terreno por medio de otro

electrodo auxiliar, el nombre de cada método cambia dependiendo de cómo se colocan los electrodos de emisión de corriente y los de lectura de tensión.

Veamos algunos de ellos:

- Método de caída de potencial.
- Método de la triangulación o de los tres puntos
- Método de la intersección de curvas.
- Método de la pendiente.
- Método de los cuatro potenciales.
- Método estrella triángulo

Este documento pretende ilustrar algunos de ellos, en este caso los más usados por ser prácticos y brindar excelentes resultados.

4.2.1 Método de la caída de potencial (fall of potential).

Dentro de los diferentes métodos de medición de sistemas de puesta a tierra este método es el de mayor aplicación, puesto que se puede implementar en la medición de cualquier sistema de puesta a tierra, sin importar su configuración.

La implementación de este método se puede observar en la figura 9, el cual consiste en hacer circular una corriente “I” a través del sistema de puesta a tierra que se desea medir, ubicar el segundo electrodo de emisión B lo suficientemente lejos del sistema de puesta a tierra a medir, el cual se denominará tierra remota, en donde se hará el retorno de corriente emitida desde el sistema de puesta a tierra. Esta corriente produce una caída de potencial en el suelo, la cual es medida a diferentes distancias, en las cuales se coloca el electrodo de medición N, y la relación de la tensión medida respecto a la corriente inyectada en el suelo determinará el valor de la resistencia en los diferentes puntos en los que se localice el electrodo de medición N.

4.2.1.1 Distribución de potenciales en el suelo.

La configuración para la implementación de este método muestra el perfil del potencial en la superficie del suelo por medio de la recta que une los dos electrodos (Figura 10a).

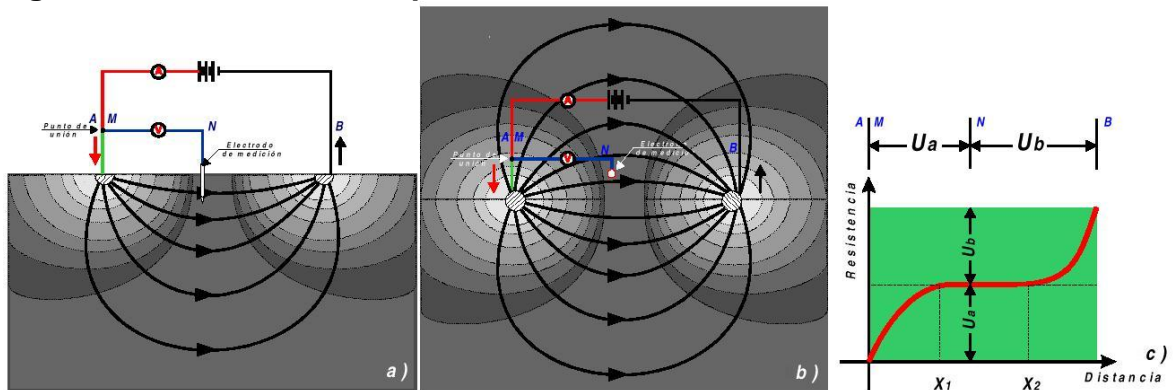
El desplazamiento del electrodo de medición N paralelo a la dirección de los electrodos A – B, permite tomar el potencial en el punto x donde está enterrado el electrodo de medición con relación al potencial del electrodo A. Trazando la curva

de los potenciales medidos para las diversas distancias en las que se localiza x se obtiene una gráfica similar a la presentada en la figura 10c), cuya explicación se ve a continuación:

En la parte inicial de la curva entre A y B , el potencial es sensiblemente creciente, pero es necesario aclarar que la mayor parte de la resistencia de una puesta a tierra se localiza en la tierra más próxima a la misma. A medida que se aleja el electrodo de medición, el área de conducción de corriente se va ampliando y la resistencia correspondiente a esta superficie se hace más uniforme. Para puntos muy distantes y que están fuera del área de influencia de los electrodos de emisión y recepción, el valor de la resistencia puede llegar a ser despreciable.

Los puntos de la curva corresponden justamente a la sumatoria de las caídas de tensión que ocurren en la resistencia de cada elemento de volumen desde el punto A hasta el punto x en consideración (el elemento de volumen está constituido por el producto del área de la superficie hemisférica centrada en A por un espesor elemental dx). Se tienen elementos sucesivos en la medida que el punto x va siendo desplazado y la superficie hemisférica ampliada, ponderándose que la corriente que atraviesa cada superficie es la misma y que la resistencia de los volúmenes elementales va disminuyendo a medida que se aleja del sistema de puesta a tierra, se concluye que se tiene caídas de tensión cada vez menores para los volúmenes elementales, aunque la sumatoria de estas caídas sea aun creciente. Esto justifica la forma de la curva entre A y x_1 : creciente y con derivada decreciente.

Figura 10 - Distribución de potenciales en el suelo



Entre los puntos X_1 y X_2 , el área de la sección de conducción es tan amplia que resulta en una densidad de corriente diminuta, siendo entonces la caída de tensión despreciable entre los dos puntos. Esta región se conoce como la meseta de potencial y la diferencia de potencial entre estos dos puntos corresponde

aproximadamente al 2% del potencial que se obtiene en X_2 . En términos prácticos se puede decir que se localiza en esta meseta la tierra remota, mas no el valor de resistencia de la tierra remota, pues casi toda la diferencia de potencial entre el electrodo A y un punto infinitamente alejado se localiza hasta la meseta (cerca del 98%).

A partir de X_2 las áreas de conducción comienzan a disminuir pues la corriente al dirigirse hacia el electrodo B tiene que atravesar superficies hemisféricas centradas en B de área cada vez menor.

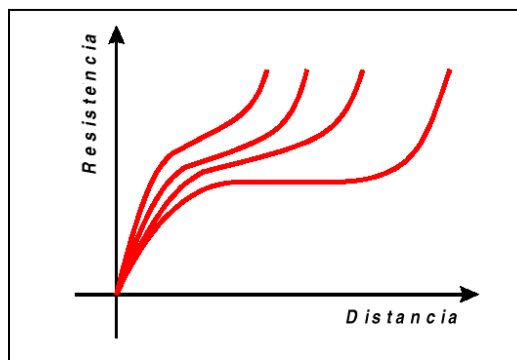
Consecuentemente la resistencia de los elementos de volumen correspondientes aumenta con una aproximación de B. Esto justifica no solo la característica creciente de la curva sino también la característica creciente de su derivada a medida que se aproxima a B.

Se observa en esta curva una separación diferente entre la caída de tensión causada por la resistencia de puesta a tierra de A y aquella causada por la resistencia de puesta a tierra de B, la separación está constituida por la meseta de potencial. Esto ocurre debido a que los electrodos A y B debieron ser considerados lo suficientemente alejados entre si.

4.2.1.2 Posición de los electrodos de medición auxiliares.

Inicialmente se posicionaran los electrodos de medición auxiliares, teniendo en cuenta la misma disposición de electrodos mostrado en la figura 10a, con el cual se estudiara la modificación del perfil de la distancia entre los electrodos, siendo medidos los A y B, pero a distancias inferiores a la original (Figura 11).

Figura 11 - Curvas de resistencias obtenidas a partir de diferentes distancias entre el electrodo de emisión y medición.



$$U_{A-N_i} = \frac{I\rho}{2\pi} \left(\frac{1}{r} \right) \quad U_{B-N_i} = \frac{I\rho}{2\pi} \left(\frac{1}{C-r} \right) \quad U_{N_i} = \frac{I\rho}{2\pi} \left(\frac{1}{r} - \frac{1}{C-r} \right) \quad (17)$$

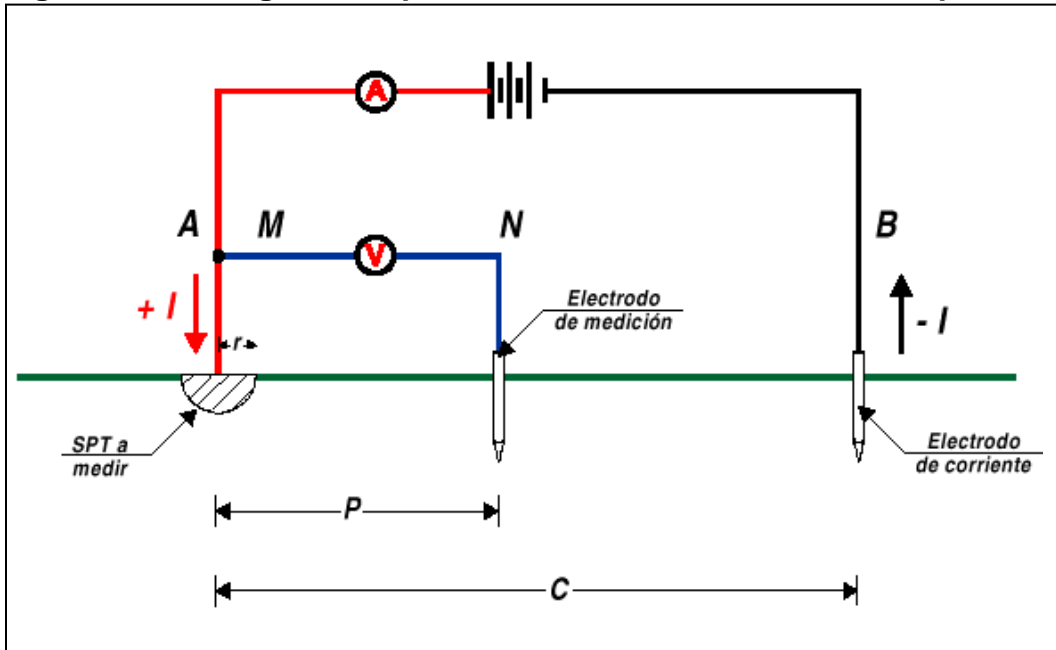
N_i = Numero de posiciones donde se ubica el electrodo de medición.

El potencial desde el centro de la semiesfera hasta el punto P

$$U_{A-N_i} = \frac{I\rho}{2\pi} \left(\frac{1}{P} \right) \quad U_{B-N_i} = \frac{I\rho}{2\pi} \left(\frac{1}{C-P} \right) \quad U_{N_i} = \frac{I\rho}{2\pi} \left(\frac{1}{P} - \frac{1}{C-P} \right) \quad (18)$$

$$\Delta U = U_{N_i} - U_{N_{i+1}} = \frac{I\rho}{2\pi} \left(\frac{1}{r} - \frac{1}{C-r} - \frac{1}{P} + \frac{1}{C-P} \right) \quad (19)$$

Figura 13 - Configuración para la medida de la resistencia de puesta a tierra.



$$\frac{\Delta U}{I} = \frac{\rho}{2\pi} \left(\frac{1}{r} - \frac{1}{C-r} - \frac{1}{P} + \frac{1}{C-P} \right) * \left(\frac{r}{r} \right) \quad (20)$$

$$\frac{\Delta U}{I} = \frac{\rho}{2\pi \cdot r} \left(1 - \frac{r}{C-r} - \frac{r}{P} + \frac{r}{C-P} \right) \quad (21)$$

Se puede llegar a demostrar que, el valor de resistencia de puesta a tierra que puede tener una semiesfera se puede calcular de la siguiente manera:

$$R_{Semiesfera} = \frac{\rho}{2.\pi.r} \quad (22)$$

Teniendo en cuenta esta fórmula y despejando este valor en la ecuación (21), se puede escribir esta ecuación como:

$$\frac{R_{Medida}}{R_{semiesfera}} = \left(1 - \frac{r}{C-r} - \frac{r}{P} + \frac{r}{C-P} \right) \quad (23)$$

Con base en esta ecuación se determina el punto en el cual se coloca el electrodo de medición N, que dará el verdadero valor de resistencia de puesta a tierra, para esto se hace que la resistencia de la semiesfera sea demasiado grande es decir que tienda a infinito; ahora si se le da un valor C, esto obviamente hace que se tenga un valor de P, con los cuales se puede hallar:

$$\frac{R_{Medida}}{T_{\rightarrow\infty}} = 1 \quad (24)$$

Este resultado se puede lograr puesto que dentro de la probabilidad $C = P$, este valor debería ser tal que:

$$-\frac{r}{C-r} - \frac{r}{P} + \frac{r}{C-P} = 0 \quad (25)$$

$$-P(C-P) - C(C-P) + CP = 0 \quad (26)$$

$$-P^2 - CP + C^2 = 0 \quad (27)$$

$$P = \frac{-C \pm \sqrt{5.C^2}}{2} = \frac{-C + C\sqrt{5}}{2} \quad (28)$$

La parte negativa se descarta.

Sabiendo que el valor de P debe ser el positivo, tenemos que:

$$P = \frac{C\sqrt{5}-1}{2} \quad (29)$$

$$P = 0.618033 \cdot C \quad (30)$$

Este resultado es de gran importancia y resulta, por supuesto, no ser mayor que el valor de la distancia de C, así que en virtud de esto podemos decir que el verdadero valor de resistencia es el obtenido cuando **P = 62% de C**.

Este resultado es basado en la idea que se tiene un sistema de puesta a tierra que es una semiesfera, pero esta idea puede ser aplicada a cualquier sistema de puesta a tierra, que posea una configuración diferente de una semiesfera.

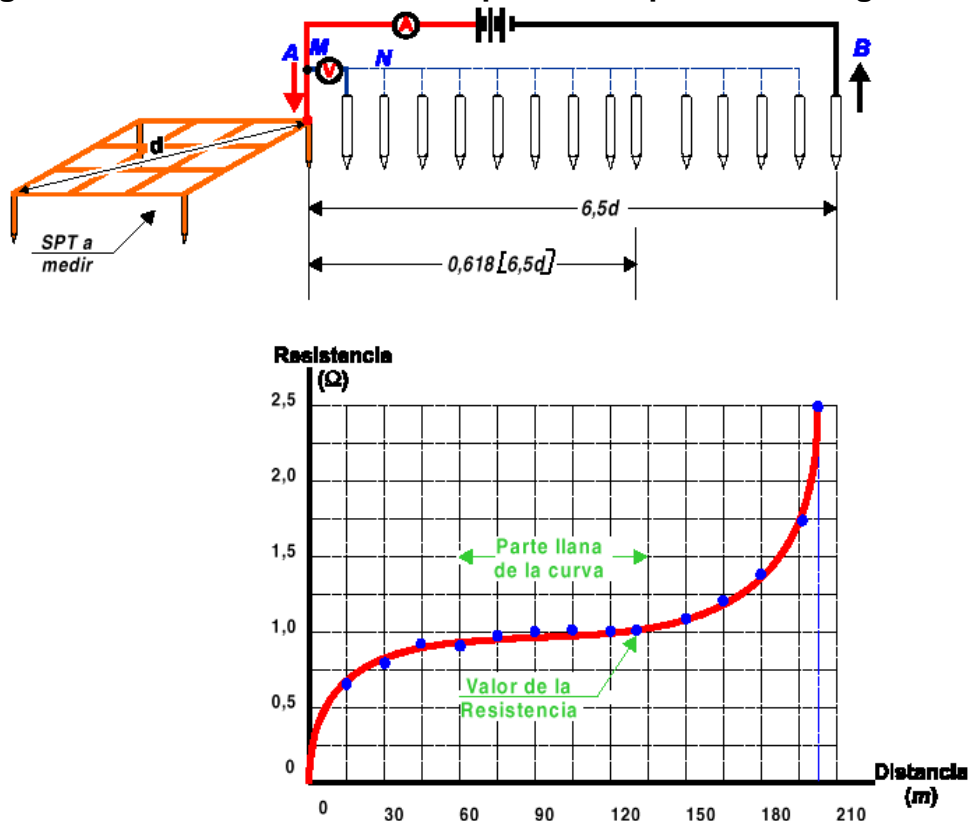
4.2.1.3 Consideraciones prácticas en la implementación.

Cabe anotar que este método es el de mayor aplicación en las mediciones de sistemas de puesta a tierra por su fácil implementación; siempre que se desea medir un sistema de puesta a tierra se inicia pensando en la aplicación de este método. Con este método se puede medir cualquier sistema de puesta a tierra sin importar su configuración. Para la aplicación de este método se deben realizar los siguientes pasos:

- Verificando la máxima longitud del sistema de puesta a tierra a medir, ya determinado este valor se observa la tabla 1 y se determinan las distancias de ubicación de los electrodos de emisión y de corriente (Si las distancias son mayores de las allí expuestas es necesario utilizar otros métodos que más adelante serán explicados), en este momento se aplica la regla del 61,8%, que determina la posición exacta de los electrodos de corriente y de potencial para la obtención del valor de resistencia del sistema de puesta a tierra bajo prueba.
- Teniendo ya la ubicación del electrodo de emisión se divide esta distancia entre un número de medidas que deben realizarse (mínimo 5), hasta llegar a la ubicación del electrodo de emisión, estas distancias son los puntos de ubicación del electrodo de medición y cada una de ellas se debe medir el valor de resistencia de puesta a tierra, si dentro de estos valores no se encuentra el del 61,8 % se debe incluir.

- Luego de realizadas las mediciones, se toman los datos obtenidos y se realiza una gráfica distancia vs. resistencia de puesta a tierra.
- Si la aplicación del método es correcta se debe obtener una curva como la de la figura 14, en la cual se observa que el valor oficial de la resistencia de puesta a tierra del sistema se ubica en la parte llana de la curva, este valor siempre se debe encontrar en esta parte.
- Cuando se deben medir sistemas de puesta a tierra sencillos como de uno o dos electrodos, pequeñas mallas de 1 a 2 m de lado, etc., se recomienda hacer una sola medición aplicando la regla del 61,8 % y obteniendo el valor de resistencia de puesta a tierra oficial, si se desea corroborar este dato se puede realizar la misma medición con los mismos puntos de ubicación pero en sentidos diferentes.

Figura 14 - Método de la caída de potencial aplicando la regla del 61,8%



- Siempre que se mida por este método se debe obtener una curva como la presentada en la figura 14, salvo la recomendación anterior, si no se obtiene esta curva es porque la medición no está bien realizada y se debe implementar nuevamente.

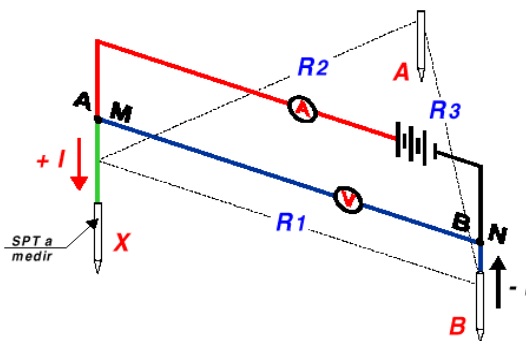
Tabla 1 - Distancias de ubicación de los electrodos de medición N y emisión B en función de la máxima longitud del SPT a medir por el método de la caída de potencial y aplicando la regla del 61,8%

Longitud máxima del SPT bajo prueba.	Distancia del electrodo de Medición N respecto al punto de unión del SPT bajo prueba y el Telurómetro.	Distancia del electrodo de Emisión B respecto al punto de unión del SPT bajo prueba y el Telurómetro.
1,5 m	18,54 m	30 m
2,4 m	18,54 m	30 m
3 m	18,54 m	30 m
4 m	18,54 m	30 m
5 m	20,08 m	32,5 m
6 m	24,11 m	39 m
7 m	28,12 m	45,5 m
8 m	32,17 m	52 m
9 m	36,15 m	58,5 m
10 m	40,17 m	65 m
15 m	60,25 m	97,5 m
20 m	80,34 m	130 m
25 m	100,42 m	162,5 m
30 m	120,51 m	195 m
35 m	140,59 m	227,5 m
40 m	160,68 m	260 m
45 m	180,76 m	292,5 m
50 m	200,85 m	325 m

4.2.2 Método de triangulación o de los tres puntos.

Este método adiciona dos electrodos auxiliares como se muestra en la figura 15, en esta los electrodos se colocan formando un triángulo equilátero y colocados a una distancia mínima de 30 m, en realidad esta distancia puede tener otro valor, pero debe ser tal que asegure que no haya influencia de los electrodos entre sí.

Figura 15 - Método de triangulación o de los tres puntos



Se pueden tomar las siguientes medidas:

$$R_1 = X + B$$

$$R_2 = X + A$$

$$R_3 = A + B$$

A partir de estas tres mediciones se puede deducir el valor de X de la siguiente forma:

$$X = \frac{R_1 + R_2 - R_3}{2} \quad (31)$$

4.2.2.1 Consideraciones prácticas en la implementación.

A pesar de que el método es aparentemente simple, su aplicación es demasiado restringida y los sistemas de puesta a tierra bajo prueba deben ser pequeños, por lo general compuestos por uno o dos electrodos. Fuera de esto hay dos posibles fuentes de error: la resistencia del sistema de puesta a tierra bajo prueba, en nuestro caso X, puede ser muy pequeña con respecto a los otros dos electrodos de prueba, R1 y R2, lo cual puede generar resultados absurdos e incluso si R3 es más grande que la suma de estos dos la ecuación nos entregará un valor de resistencia negativo. Si se llega implementar este método la experiencia juega un papel más grande que la teoría, para los trabajos de terreno es necesario desarrollar la ecuación (31), esto teniendo en cuenta los posibles resultados que se pueden obtener, y además para no perder el trabajo ya realizado, de obtenerse un resultado erróneo es necesario realizar todo el trabajo de medición nuevamente tomando un tiempo de 15 minutos entre cada trabajo, esto con el fin de dejar que algunos fenómenos en el suelo como polarización o efectos galvánicos interfieran en la medición.

4.2.3 Método de la intersección de curvas.

Este método se basa fundamentalmente en la regla del 61,8%, el cual fue presentado para la medición de grandes sistemas de puesta a tierra (iguales o mayores a 20.000 m²)^Ω este método resuelve dos problemas que se presentan en la práctica:

^Ω IEEE 81 Std. 81.2 – 1991. Guide for Measurement of Impedance and Safety Characteristics of Large, Extended or Interconnected Grounding Systems IEEE 81 – 2, 1992, pp. 9.

- La distancia a la cual deben ser ubicados los electrodos de emisión y medición auxiliares, puesto que al utilizar el método de la caída de potencial con aplicación de la regla del 61,8% la ubicación del electrodo de emisión a 6,5 veces la máxima longitud del sistema de puesta a tierra a medir implica distancias de hasta 500 o más metros, casos en los que es difícil medir.
- La dificultad que se presenta por la acción del efecto mutuo (superposición de zonas de influencia) que se presenta por la utilización de grandes distancias para los electrodos auxiliares.

Para medir la resistencia de puesta a tierra de cualquier sistema es necesario cuantificar las distancias a las cuales se ubicarán los electrodos auxiliares a partir de un punto específico; es decir se debe establecer un punto de origen para las mediciones. A primera vista resulta lógico pensar en una coincidencia entre el centro geométrico y eléctrico de un sistema de puesta a tierra, esto coincide para sistemas simples como el de un solo electrodo, o en algunos casos esto puede ser cierto pero es apenas una casualidad. Las situaciones reales de mallas de puesta a tierra complejas, con múltiples conexiones, tubos, electrodos y conductores, nos puede brindar una geometría de contorno regular (rectangular, triangular, etc.), pero no se comporta eléctricamente sobre un punto de vista de conexión central como un figura definida.

Para resolver el problema de la determinación del centro eléctrico del sistema de puesta a tierra a medir se puede implementar un software adecuado para tal fin, al cual se le deben suministrar los datos geométricos del sistema de puesta a tierra y la resistividad específica del terreno donde se aplica dicho sistema de puesta a tierra; sin embargo G.F. Tagg [©] en un documento presentado por la IEEE en 1969, elimina la necesidad de la determinación del centro eléctrico, es decir, elimina la necesidad de extensos cálculos y simplifica la medición al necesitar menores distancias en la ubicación de los electrodos auxiliares.

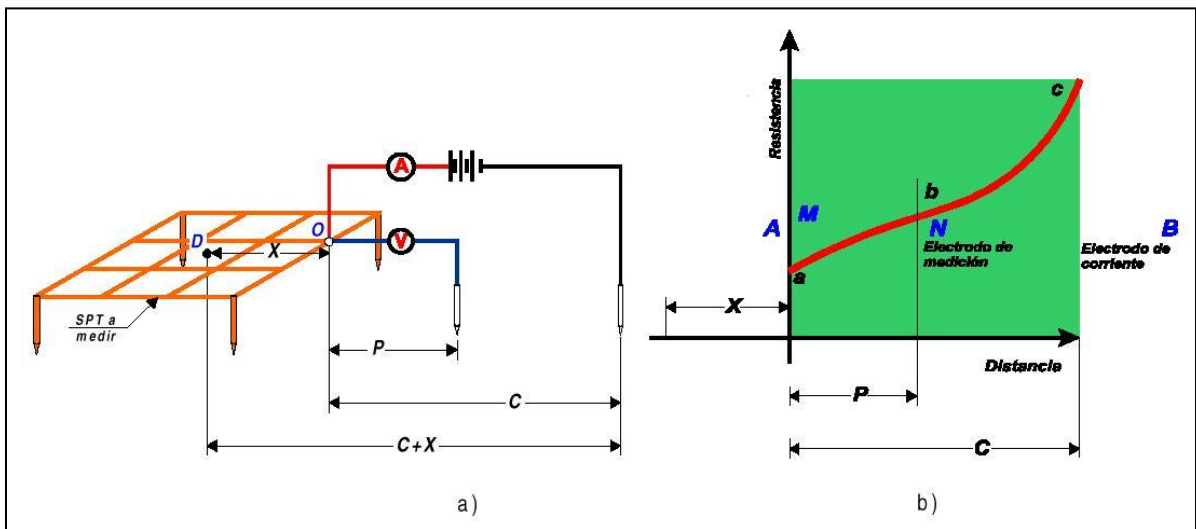
El método de la intersección de curvas consiste en obtener varias curvas de resistencia de puesta a tierra, colocando el electrodo de emisión B a varias distancias y asumiendo varias posiciones para el centro eléctrico del sistema de puesta a tierra bajo prueba, y a partir de estas curvas por medio de un

[©] TAGG G. F. "Measurement of the resistance of An Earth – Electrode covering a large area" IEEE Proceedings, Vol. 116, Mar. 1969

procedimiento se obtiene la resistencia del sistema de puesta a tierra y la posición exacta del centro de la malla.

Supongamos que todas las mediciones son hechas a partir de un punto de inicio O, la distancia al electrodo de emisión B es C, y P es la distancia variable del electrodo de potencial N. Luego se traza una curva de resistencia respecto a la distancia de P (figura 16).

Figura 16 - a) Método de la intersección de curvas. b) Curva de resistencia para grandes sistemas de puesta a tierra.

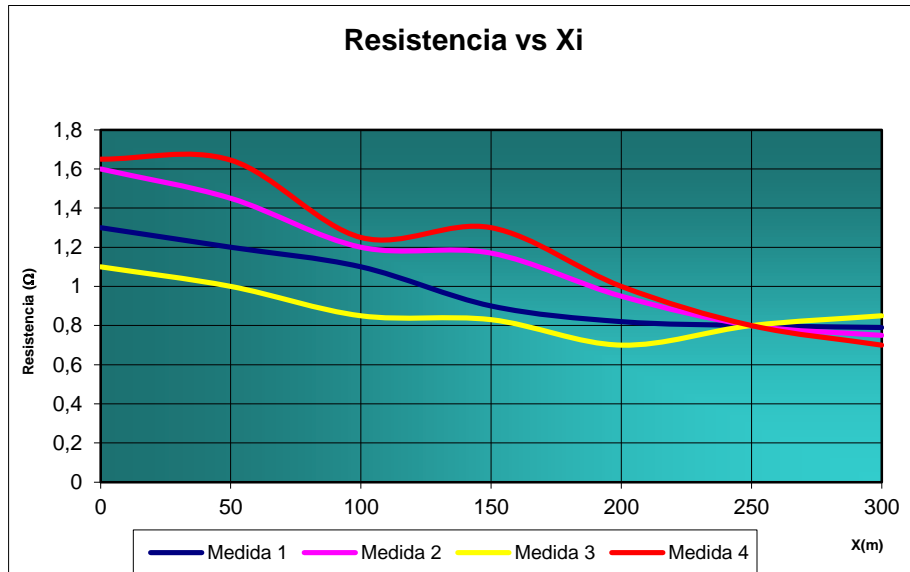


Se supone el centro eléctrico del sistema de puesta a tierra en D, a una distancia x de O, luego la distancia del centro al electrodo de emisión es $C + x$, y el valor real de la resistencia se obtiene cuando el electrodo de potencial se coloca a $0,618(C + x)$ de D, o sea que el valor de D medido desde O es $0,618(C + x) - x$. Para obtener la familia de curvas inicialmente se deben desarrollar los siguientes pasos:

1. Determine el punto O, el cual será el punto de unión entre el telurómetro y el sistema de puesta a tierra bajo prueba.
2. Basándose en las dimensiones del sistema de puesta a tierra, se determina la ubicación del electrodo de emisión C, para cada una de las curvas que se quieren obtener. Se deben obtener como mínimo 4 curvas.
3. Con base en la máxima distancia C a que se colocará el electrodo de emisión se determina la distancia de x como un porcentaje de C: 20%, 40%, 60%, 80% y 100%

4. Teniendo ya los valores de x y C se aplica la fórmula $D_V = 0.618(C + x) - x$ con la cual obtenemos las distancias (D_V) a las cuales debe estar ubicado el electrodo de medición de voltaje.
5. Al obtener los valores de resistencia de puesta a tierra con el telurómetro, se trazan las gráficas $R_{(Leida)}$ vs. X_i tal como lo muestra la figura 17.

Figura 17 - Método de intersección de curvas



4.2.3.1 Consideraciones prácticas en la implementación.

Para la implementación de este método se deben tener en cuenta las siguientes recomendaciones:

- Para determinar el punto de unión entre el telurómetro y el sistema de puesta a tierra bajo prueba generalmente se toma un electrodo ubicado en el perímetro del sistema de puesta a tierra. Es aconsejable realizar este tipo de mediciones con telurómetros de cuatro bornes.
- En el momento de la medición se asume que los puntos D, O y C deben estar en línea recta.
- Existen límites para la distancia del electrodo de corriente, por ejemplo si el sistema de puesta a tierra es una malla cuadrada, la mínima distancia del electrodo de corriente debe ser mayor que el lado del cuadrado, y debe ser

menor que el doble del lado, ya que si es demasiado grande las curvas dan muy planas y la intersección que se obtiene será indefinida.

- Es recomendable realizar como mínimo 4 curvas para las cuales se deben realizar por lo menos 5 mediciones por cada curva, esto con el fin de obtener muchos valores de resistencia, los cuales harán que las curvas obtenidas sean más claras. No es recomendable recurrir a los datos y la experiencia de mediciones anteriores, es muy aconsejable que en el mismo sitio de medición se dibujen las curvas, la intersección de las mismas y el valor de la resistencia de puesta a tierra.
- Siempre que sea posible haga que el rumbo de la medición o la ubicación del electrodo de emisión sea ortogonal al sistema de puesta a tierra bajo prueba, esto hace que sea posible atenuar errores provocados por desvíos de resistividades propias del terreno.
- Este método puede ser un poco tedioso por las numerosas mediciones que se deben realizar pero el hecho de utilizar longitudes relativamente cortas para ejecutarlo aunado a los resultados muy confiables, hacen de este método muy apropiado para sistemas muy grandes.

4.2.4 Método de la pendiente.

Al igual que el método de intersección de curvas, este método también es utilizado para medir grandes sistemas de puesta a tierra, es más sencillo y proporciona buenos resultados y no es tan vulnerable en suelos no homogéneos. Para la aplicación práctica de este método, los siguientes son los pasos de la aplicación:

1. Se escoge el valor de C por los mismos criterios del método anterior; es decir que C puede ser de 1 a 6,5 veces el valor de la máxima dimensión lateral del sistema de puesta a tierra a medir.
2. De igual manera se elige un punto O del sistema de puesta a tierra que sea conveniente para la conexión del equipo de medición. Este punto puede ser uno de los electrodos periféricos que conforman el sistema de puesta a tierra.
3. Ubicar el electrodo de potencial o medición N a $0.2C$, $0.4C$ y $0.6C$.

4. Medir la resistencia de puesta a tierra usando cada distancia a la cual se coloca el electrodo de medición N. Luego estos valores corresponden a R_1 , R_2 y R_3 respectivamente.
5. Calcular el valor de μ como: $\mu = \frac{R_3 - R_2}{R_2 - R_1}$, el cual representa el cambio de pendiente de las curvas de Distancia / Resistencia.
6. Con el valor de μ se busca en la tabla 2, donde se encuentra el valor correspondiente de $\frac{P_T}{C}$ para diferentes valores de μ .
7. Luego calcular el valor de $P_T = \mu * C$, y a esta distancia se ubica el electrodo de medición N. (desde el punto O).
8. Se mide el valor de resistencia al ubicar el electrodo de potencial a la distancia que se indicó en el punto anterior (7), el cual es el verdadero valor de resistencia del sistema de puesta a tierra medido.
9. Este mismo proceso se repite para diferentes valores de C, y se puede realizar un promedio con los valores de resistencia obtenidos los cuales no deben diferir en sus resultados.

4.2.4.1 Consideraciones prácticas en la implementación.

Con la implementación de este método no se debe esperar una gran precisión, pero es posible esperar errores alrededor del 10% o menores. Con la determinación de apenas tres medidas y el cálculo de μ , ya se puede tener una idea sobre la ubicación del electrodo de corriente o de emisión B, esto nos indica que dentro de los métodos descritos hasta el momento este método es el de más rápida aplicación y comparado con el método de la intersección de curvas es de mayor facilidad en el momento de la aplicación en terreno y la obtención de datos y resultados.

En conclusión para la medición de grandes sistemas de puesta a tierra este método es el que se aplica de manera más rápida y con el que se obtienen los datos con mayor rapidez; adicionalmente es el que presenta una mayor exactitud para las mediciones hechas en suelos no homogéneos, que son la mayoría de los suelos.

Figura 18 - Puntos de localización del electrodo de medición para el método de la pendiente.

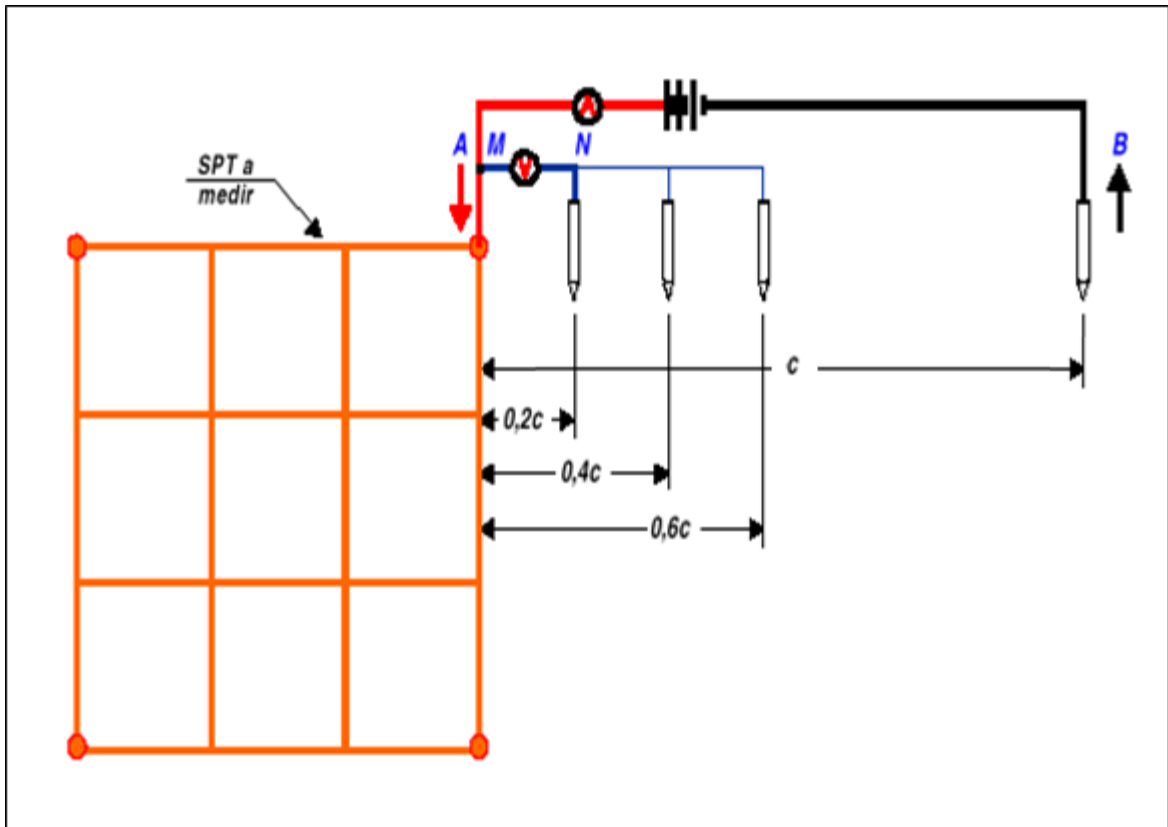


Tabla 2 - Valores de $\frac{P_T}{C}$ para diferentes valores de μ .

μ	P_T/C	μ	P_T/C	μ	P_T/C
0,4	0,643	0,8	0,58	1,2	0,494
0,41	0,642	0,81	0,579	1,21	0,491
0,42	0,64	0,82	0,577	1,22	0,488
0,43	0,639	0,83	0,575	1,23	0,486
0,44	0,637	0,84	0,573	1,24	0,483
0,45	0,636	0,85	0,571	1,25	0,48
0,46	0,635	0,86	0,569	1,26	0,477
0,47	0,633	0,87	0,567	1,27	0,474
0,48	0,632	0,88	0,566	1,28	0,471
0,49	0,63	0,89	0,564	1,29	0,468
0,5	0,629	0,9	0,562	1,3	0,465
0,51	0,627	0,91	0,56	1,31	0,462
0,52	0,626	0,92	0,558	1,32	0,458
0,53	0,624	0,93	0,556	1,33	0,455
0,54	0,623	0,94	0,554	1,34	0,452
0,55	0,621	0,95	0,552	1,35	0,448
0,56	0,62	0,96	0,55	1,36	0,445
0,57	0,618	0,97	0,548	1,37	0,441
0,58	0,617	0,98	0,546	1,38	0,438
0,59	0,615	0,99	0,544	1,39	0,434
0,6	0,614	1	0,542	1,4	0,431
0,61	0,612	1,01	0,539	1,41	0,427
0,62	0,61	1,02	0,537	1,42	0,423
0,63	0,609	1,03	0,535	1,43	0,418
0,64	0,607	1,04	0,533	1,44	0,414
0,65	0,606	1,05	0,531	1,45	0,41
0,66	0,604	1,06	0,528	1,46	0,406
0,67	0,602	1,07	0,526	1,47	0,401
0,68	0,601	1,08	0,524	1,48	0,397
0,69	0,599	1,09	0,522	1,49	0,393
0,7	0,597	1,1	0,519	1,5	0,389
0,71	0,596	1,11	0,517	1,51	0,384
0,72	0,594	1,12	0,514	1,52	0,379
0,73	0,592	1,13	0,512	1,53	0,374
0,74	0,591	1,14	0,509	1,54	0,369
0,75	0,589	1,15	0,507	1,55	0,364
0,76	0,587	1,16	0,504	1,56	0,358
0,77	0,585	1,17	0,502	1,57	0,352
0,78	0,584	1,18	0,499	1,58	0,347
0,79	0,582	1,19	0,497	1,59	0,341

4.3 CONSIDERACIONES PRÁCTICAS SOBRE LAS MEDICIONES DE RESISTENCIA EN SISTEMAS DE PUESTA A TIERRA.

4.3.1 Normas de seguridad.

Las normas de seguridad que se deben tener en cuenta cuando se realizan mediciones de resistencia de puesta a tierra están encaminadas a la seguridad tanto de los datos obtenidos en la medición pero principalmente a la seguridad del personal que realiza e interviene en este tipo de trabajos.

Las reglas y procedimientos sugeridos aquí son recomendados para que sean utilizados como un recordatorio de los posibles peligros que se pueden presentar durante las mediciones, y para servir como guías en una preparación segura de los diferentes métodos de medición.

Las siguientes son las medidas de precaución recomendadas:

1. No programe mediciones de resistencia de puesta a tierra en sistemas eléctricos que estén aterrizados, durante periodos en los cuales se prevé que ocurran tormentas eléctricas, o rayos. No importa el tipo de sistema eléctrico ni la parte de dicho sistema que se pretenda medir, bajo estas condiciones no se debe medir.
2. No deje que se realicen pruebas de conexión y desconexión de líneas de transmisión durante un periodo en el cual se prevén tormentas eléctricas.
3. En el evento que llegue a ocurrir una tormenta eléctrica repentina sobre el área en el cual se realizan las pruebas de medición, detenga cualquier tipo de medición, desconecte toda conexión que halla entre los equipos de medición y los sistemas bajo prueba y aisle temporalmente los conectores y colóquelos en la parte exterior del sistema de puesta a tierra bajo prueba.

4.3.2 Aspectos de seguridad y preparación para las pruebas.

Estas precauciones se deben tener en cuenta en la preparación de mediciones de resistencia de puesta a tierra de cualquier sistema de potencia que se encuentre puesto a tierra y en el cual se involucra personal que puede estar expuesto a fallas eléctricas o alimentaciones al sistema de puesta a tierra no prevista, potenciales transferidos desde tierras remotas y energizaciones inadvertidas.

Puede que la probabilidad de ocurrencia de alguno de estos eventos sea baja, sin embargo el personal que realice las mediciones debe estar protegido para cualquiera de estos eventos y se debe aumentar su protección para:

- Si tiene las manos descubiertas evite hacer un puente de continuidad con su cuerpo entre los equipos de medición y el sistema bajo prueba o entre los implementos de medición.
- Asegúrese de que los rollos de cable que se utilizan en la medición estén bien aislados o por lo menos montados sobre una plataforma aislante.
- Conecte seguramente las puestas a tierra (determinadas para casos de falla) a toda armazón metálica de los equipos.

Estas recomendaciones en los procedimientos de medición, condiciones de peligro y la responsabilidad de cada persona deben ser discutidas y entendidas por cada uno de los participantes de las mediciones.

4.4 FACTORES QUE AFECTAN LAS MEDICIONES DE SISTEMAS DE PUESTA A TIERRA.

Las mediciones de sistemas de puesta a tierra que se realizan con corrientes de inyección realizadas en subestaciones y líneas de transmisión energizadas, poseen numerosas características que introducen e imponen complicaciones sobre las técnicas de medición que se sigan.

4.4.1 Antecedentes de tensión y ruido resultado de acoplamientos

- Desbalances de corriente que fluyen a través de cualquier impedancia del sistema de puesta a tierra bajo prueba.
- Corriente de armónicos que fluyen a través de cualquier impedancia del sistema de puesta a tierra que se producen bajo prueba.
- Corrientes que se inducen en conductores extensos puestos a tierra y que finalmente circulan a través de una malla o sistema de aterrizaje.
- Corrientes telúricas o parásitas.

4.4.2 Interferencia electromagnética resultado de acoplamientos

- Tensiones inducidos en el circuito bajo prueba debidos al paralelismo con un barraje de alimentación y/o líneas de transmisión (Acoplamiento inductivo).
- Tensiones inducidos en el circuito bajo prueba debidos a la proximidad con un barraje energizado y/o líneas de transmisión (Acoplamiento capacitivo).

4.4.3 Consideraciones durante la medición.

- La medición de resistencia de puesta a tierra no contempla la desconexión del sistema bajo prueba, ni de los equipos o sistemas eléctricos, durante la medición ni en la obtención de datos o resultados.
- El acoplamiento mutuo entre el conductor de corriente de prueba y el conductor de medición hará que se introduzca una menor impedancia en el resultado de la medición.
- La localización de los electrodos de emisión (corriente) y medición cerca de estructuras metálicas enterradas, neutros aterrizados, conductores de puesta a tierra enterrados y conectados al sistema de puesta a tierra bajo prueba, harán que los datos de la medición sean más bajos de lo que realmente son. En áreas urbanas estos componentes efectivamente hacen más amplio el sistema de puesta a tierra de cualquier sistema de potencia, pero hacen que sea difícil la medición de resistencia de puesta a tierra, en este caso se debe buscar el camino que tenga menos elementos enterrados por el camino o rumbo de la medición; en estos casos es necesario practicar un mínimo de 3 mediciones en rumbos diferentes, y si es del caso realice la medición en el rumbo más crítico para poder descartar cualquier duda sobre los datos obtenidos. En el caso de líneas de transmisión se debe medir a 90° de los cables de guarda, puesto que los contrapesos se ubican paralelos a estos.
- La alta resistencia debido a la corrosión de las conexiones entre la malla de puesta a tierra y los componentes de todo el sistema de puesta a tierra, la corriente no lineal de los cables de apantallamiento metálicos cuando se conectan a la malla, y la no linealidad de las uniones mecánicas que se utilizan para conectar estos conductores, ocasionan que se tenga una medición de impedancia demasiado alta, por tanto es necesario realizar

mantenimientos periódicos a los cables, electrodos y equipo de medición. Se sugiere que antes de realizar cualquier medición de este tipo se realice la evaluación del equipo de medición para poder descartar cualquier error en la medición debido al equipo.

- Todos los componentes del sistema de puesta a tierra bajo prueba deberán estar conectados. Se debe verificar que esto se cumpla para no obtener datos parciales o de sistemas que comprenden todo un gran sistema de puesta a tierra. Si el sistema de puesta a tierra es de dimensiones considerables y está compuesto de múltiples sistemas de puesta a tierra mida cada sistema por aparte y verifique los valores obtenidos en cada sistema los cuales no deben tener grandes diferencias en su resultado.
- Las líneas de transmisión que estén fuera de servicio deberán estar puestas a tierra junto con la malla, antes de realizar cualquier medición.
- En el caso de mediciones hechas en sitios de resistividad alta o donde el contacto entre los electrodos y el terreno presenta un alto valor de resistencia, se puede agrandar el orificio donde se clava el electrodo y agregarle agua, con lo cual se logra una resistencia de contacto más baja y se asegura un perfecto contacto con el suelo. La cantidad de agua empleada debe ser suficiente para el área de contacto y no excesiva puesto que demasiada agua provocará un valor de medición erróneo.
- Si se deben implementar mediciones en sitios como edificios o áreas urbanas en las cuales no es posible enterrar los electrodos auxiliares en el suelo se deben utilizar los conectores de los cables o láminas metálicas que remplazarán los electrodos, se les debe adicionar agua para poder tener un contacto mayor con el suelo. La ubicación de los terminales de hierro es la misma que si se utilizarán los electrodos, luego de su ubicación coloque agua sobre los terminales y cubriéndolos plenamente sin hacer grandes extensiones o charcos de agua, verifique que el agua sea un medio de conexión perfecta entre los terminales y el suelo.
- Se debe tener especial cuidado en la calidad de los cables que se usarán en la medición, especialmente de que no se encuentren perforados en su aislamiento o estén empalmados en más de un sitio, lo primero en vista de que al encontrarse perforaciones en su aislamiento se pueden producir fugas de corriente o mediciones erróneas que producirán la pérdida de todo

el trabajo de medición; el empalme de varios tramos de cable ocasiona que el valor de su resistencia aumente incidiendo en el valor obtenido por el telurómetro, también se debe tener en cuenta que al utilizar grandes extensiones de cable juega un papel importante la regulación que puede obtenerse.

4.5 PROTOCOLOS DE CERTIFICACIÓN Y MEDICIÓN DE SISTEMAS DE PUESTA A TIERRA.

Los protocolos de medición de resistencia de puesta a tierra son quienes dan fe de la correcta elaboración de un sistema de puesta a tierra; su importancia radica en que pueden y deben convertirse en un certificado de la correcta o no implementación de un sistema de puesta a tierra, en ellos deben estar retomados todos los aspectos normalizados para la correcta elaboración de un sistema de puesta a tierra.

Varios de los datos utilizados para elaborar el protocolo de medición de resistividad se utilizan en los protocolos de medición de resistencia de puesta a tierra, en el capítulo 4 se omitirá su explicación y se le dará mayor prioridad a la explicación de los nuevos datos que se utilizan en los protocolos de medición de resistencia de puesta a tierra y certificación de sistemas de puesta a tierra.

Como se dijo al iniciar esta parte las mediciones de resistencia de puesta a tierra deben servir o llevar a que se conviertan en un documento que certifique el real estado de cualquier sistema de puesta a tierra que se pretenda medir, pero es lógico que cuando se realiza una interventoría propia sobre un trabajo realizado, solo se limita a medir y comprobar que el resultado de la medición del sistema de puesta a tierra bajo prueba sea el correcto, y la certificación correría por parte de otra compañía que sería la encargada de determinar, basándose en unas normas conocidas y valederas, que el sistema de puesta a tierra cumple o no los requisitos mínimos para ser conectado a un sistema eléctrico.

4.5.1 Protocolo de certificación de un sistema de puesta a tierra.

Un protocolo de certificación de puesta a tierra, es un documento fiel en el cual se verifica que realmente está construido y posee las características que las diferentes normas internacionales exigen para su correcto funcionamiento y elaboración.

El protocolo de certificación fue creado teniendo en cuenta que al medir un sistema de puesta a tierra se pueden verificar las características de construcción

del sistema de puesta a tierra bajo prueba, características de construcción que son reglamentadas por las siguientes normas y estándares:

- NEC National Electrical Code (NFPA 70) 196
- IEEE 80, IEEE 81, IEEE 1100, IEEE 142.
- NFPA 780
- UIT
- VDE 143
- NTC 2050

No se debe interpretar que son las únicas normas sobre construcción de sistemas de puestas a tierra, pero si son las de mas difusión en Colombia.

Los datos contemplados en el protocolo de certificación de un sistema de puesta a tierra son:[⊕]

- **Área o longitud:** Corresponde al área que tiene el sistema de puesta a medir, es necesario determinar esta magnitud teniendo en cuenta que dependiendo de este valor se debe determinar el método de medición que se implementará, y de paso la ubicación y configuración del método.
- **Utilización:** Es el propósito para el cual se determinó la construcción del sistema de puesta a tierra bajo prueba, puede ser para equipo sensible, de pararrayos o de potencia. Este dato es importante puesto que determina si el valor de resistencia obtenido del sistema de puesta a tierra bajo prueba es el correcto para el objetivo que fue construido.
- **Ubicación:** es el sitio en donde está construida la puesta a tierra bajo prueba, este dato se toma con el fin de poder llevar un archivo y memoria del sitio donde se encuentra el sistema de puesta a tierra, se determinó luego de encontrar que en la práctica muchas veces no se tienen planos de ubicación de los diferentes sistemas de puesta a tierra, o en muchos casos en remodelaciones se pierde la ubicación de estos sistemas.
- **Valor oficial de resistencia:** Es el valor de resistencia de puesta a tierra obtenido. Se debe dar en ohmios, y su validez está determinada por el tipo de sistema de puesta a tierra construido y su propósito, el valor de resistencia y su validez se corrobora con los valores que las diferentes normas o fabricantes de equipos exigen al respecto.
- **Criterios de evaluación normalizados:** Corresponde más que todo a los aspectos de construcción con los cuales fue implementado el sistema de

[⊕] Se omite la explicación de los datos similares entre el protocolo de medición de resistividad de suelos y el de certificación de un sistema de puesta a tierra.

puesta a tierra bajo prueba; estos criterios se relacionan según las exigencias de las normas nacionales e internacionales pero la principal fuente de evaluación la constituye el National Electrical Code NEC[®] o NFPA 70, en su artículo 250, en el cual se recogen los requisitos generales de conexión de puesta a tierra y equipotencialidad de instalaciones eléctricas, y requerimientos específicos sobre:

- Sistemas, circuitos y equipos permitidos o no para ser puestos a tierra.
- Conductores que se deben colocar a tierra en los sistemas de puesta a tierra.
- Ubicación de las conexiones a tierra.
- Tipos y tamaños de conductores y electrodos para conexiones a tierra y equipotencialidad.
- Métodos de puesta a tierra y equipotencialidad.
- Condiciones bajo las cuales protecciones, aislamientos o no aislamientos deberán ser sustituidos por sistemas de puesta a tierra.

En este protocolo también se utilizan los criterios de normalización exigidos por otras entidades. Se busca en todo momento que las entidades nacionales suministren los aportes necesarios para el complemento de sus normas en este protocolo.

El modelo del protocolo de certificación de un sistema de puesta a tierra se puede ver en la figura 19.

Figura 19 - Protocolo de certificación de un sistema de puesta a tierra.

CERTIFICACION DE LA PUESTA A TIERRA			
<i>DATOS DE SITIO</i>		<i>DATOS BASICOS</i>	
FECHA DE MEDICIÓN:		TIPO DE TERRENO:	
SOLICITANTE:		No. DE PUESTAS A TIERRA:	No. ACTUAL:
CIUDAD:		TEMPERATURA:	
PROYECTO:			
<i>DATOS DEL EQUIPO DE MEDICIÓN</i>		<i>ACCESORIOS DE MEDICIÓN</i>	
MARCA		TIPO DE ELECTRODOS	
FRECUENCIA DE PRUEBA		LONGITUD DE ELECTRODOS	
CORRIENTE DE PRUEBA		TIPO DE CABLES	
		LONGITUD MAXIMA DE CABLES	
<i>DIAGRAMA DE SPT A MEDIR</i>		<i>DATOS DE SPT A MEDIR</i>	
		AREA O LONGITUD: _____	
		CONFIGURACION: _____	
		UTILIZACION: _____	
		UBICACIÓN: _____	
		OBSERVACIONES: _____	

<i>CRITERIOS DE EVALUACION NORMALIZADOS</i>			
	DATOS	CUMPLE	NORMA
VALOR OFICIAL DE RESISTENCIA:			NEC 250-50
TIPO DE ELECTRODOS:			NEC 250-91
CALIDAD DE LOS ELECTRODOS:			NEC 250-83
SEPARACION ENTRE ELECTRODOS:			NEC 250-83
CALIDAD DE LAS CONEXIONES:			NEC 250-112
CALIBRE DE CONDUCTORES AL SPT:			IEEE 80-9,3
CALIBRE DEL CONDUCTOR DEL SPT:			NFPA 780 3-12
CALIDAD DE LOS CONDUCTORES:			NEC 250-91
INTERCONEXION ENTRE SPT:			NEC 250-86
CAJAS DE INSPECCION:			CODENSA CS500-1
BARRAJES EQUIPOTENCIALES:			TIA 607-5.4
TECNICA DE MEJORAMIENTO:			CODENSA ET 489
OBSERVACIONES ADICIONALES: _____			

4.5.2 Protocolo de medición de resistencia de puesta a tierra.

Es el último paso para determinar la operación de un sistema de puesta a tierra. El protocolo de medición de resistencia de puesta a tierra mostrado en la figura 19 y 20 se desarrolló teniendo en cuenta:

- **Método de medición:** Determina cual es el método a emplear en la medición, y en el caso de la interpretación de las medidas nos ubica cual fue el método empleado para realizar la medición y los datos que se pueden esperar del mismo.
- **Número de mediciones:** Se entrega esta información con el fin de poder determinar si la medición se realizó correctamente o si por el contrario, por la aplicación de un gran número de mediciones el suelo presentó efectos indeseables de polarización o galvánicos los cuales pueden incidir en los datos obtenidos de la medición. Con esto se determina si se deben realizar las mediciones de nuevo.
- **Tensión por espurias:** Es necesario determinar dentro del protocolo de medición de resistencia de puesta a tierra el valor de la tensión por espurias para despejar cualquier duda sobre la medición realizada, además la tensión por espurias incide substancialmente en el valor de resistencia obtenido y dificulta en gran manera el desarrollo de las mediciones de este tipo.
- **Curva de resistencia de puesta a tierra:** Es necesario que dentro de cada protocolo halla una curva de medición de resistencia de puesta a tierra, como se vio en los métodos de la caída de potencial, intersección de curvas y de la pendiente utilizan curvas para determinar el valor de resistencia obtenido, además de esto el tener esta curva clarifica que los datos obtenidos en el terreno son correctos y que según la teoría expuesta se cumple con las prácticas realizadas.
- **Observaciones:** Corresponden a lo encontrado en el terreno o aspectos de importancia que se deben aclarar para dar veracidad a los valores obtenidos.
- **Responsable de la medición y asistentes:** Corresponde a la persona que realizó la medición y las personas de la compañía contratante que pueden dar fe de los resultados obtenidos.

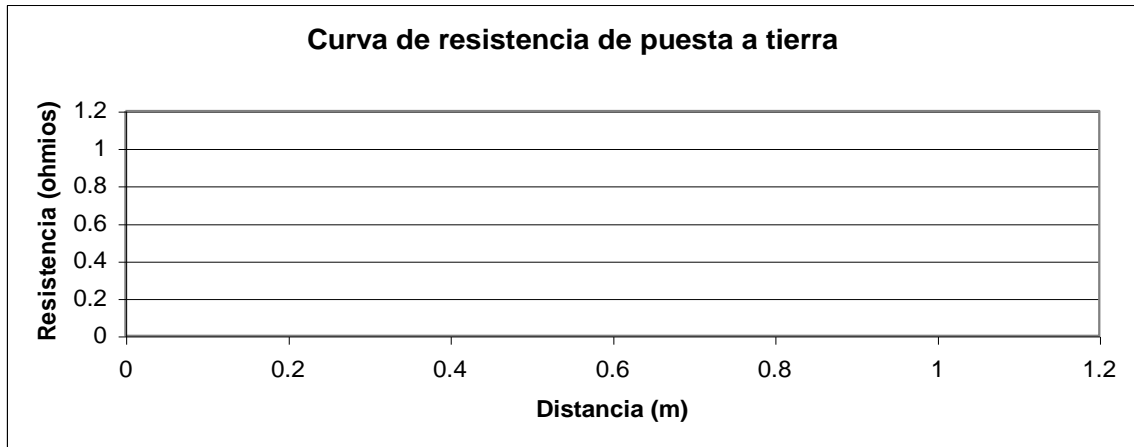
Figura 20 - Formato para la medida de la resistencia de puesta a tierra.

UNIVERSIDAD TECNOLÓGICA DE PEREIRA	
<i>Médeción de la resistencia de puesta a tierra</i>	
Datos del sitio	Condiciones del suelo
Fecha de medición: _____	Color del suelo: _____
Empresa: _____	Tipo de terreno: _____
Ciudad: _____	Último día lluvioso: _____
Ubicación: _____	Temperatura: _____
Departamento: _____	pH: _____

Datos del equipo de medición	Accesorios de medición
Marca: _____	Electrodos: _____
Frecuencia : _____	Tipo de cable: _____

Datos de montaje en el terreno	
Método de medición: _____	Número de mediciones: _____
Rumbo(s) de la(s) medicion(es): _____	

Medición número	Distancia entre electrodos		Corriente de prueba (mA)	Escala de medición (Ω)	Resistencia medida (Ω)
	Corriente	Tensión			
1					
2					
3					
4					
5					
6					
7					
8					
9					
10					



Observaciones:

Responsable de la medición: _____

5. INFORMACION PARA CADA EDIFICIO NOMBRADO

Se realizó un trabajo de campo en cada instalación en particular, el cual incluye los siguientes puntos:

a. Registro fotográfico: Se hicieron registros fotográficos de los elementos que constituyen el sistema de puesta a tierra de cada edificio, para destacar las anomalías en este sistema, como también las características propias de cada instalación.

b. Obtención del perfil de resistividad del suelo: Se ejecutó el procedimiento establecido como oficial según el RETIE y el estándar IEEE 80, para la obtención del perfil de resistividad del suelo, con el fin de determinar el valor de resistividad del suelo, el cual sería utilizado para el cálculo del sistema de puesta a tierra.

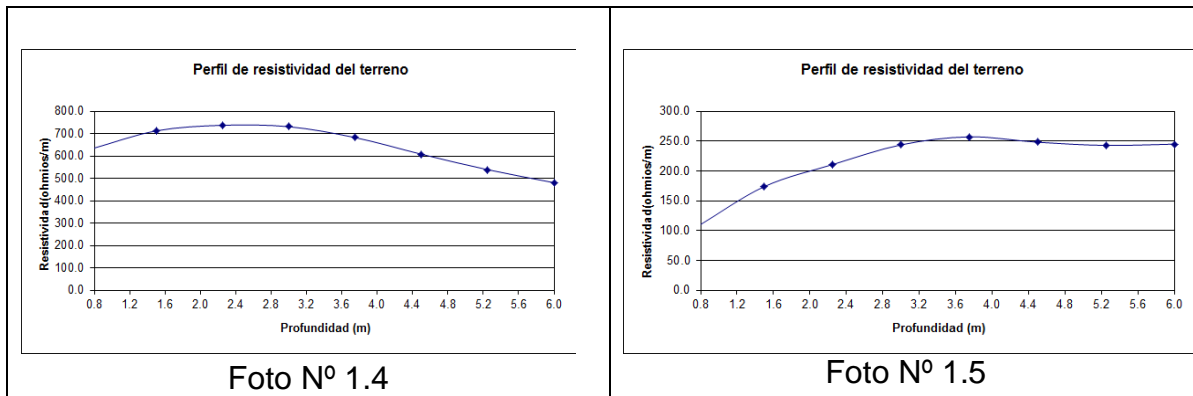
c. Medida del valor de la resistencia de puesta a tierra: Se ejecutó el procedimiento oficial según el RETIE y el estándar IEEE 80, para la obtención del valor de la resistencia de puesta a tierra del sistema, para cada edificio del campus de la Universidad.

d. Comparación Resultados Años 2003 y 2012: Con la información que se obtuvo para cada sistema eléctrico, correspondiente a cada edificio, se realizó un análisis y un diagnóstico, además se establecieron algunas recomendaciones teniendo en cuenta las normas correspondientes para cada caso en particular.

5.1 SITIO DE ESTUDIO: EDIFICIO DE ELÉCTRICA

Ubicación: Lado izquierdo-centro del edificio No 5 de sur a norte, según mapa general de la U.T.P. (Planos planeación U.T.P.)

AÑO 2003	AÑO 2012
 <p data-bbox="521 915 643 947">Foto N° 1</p>  <p data-bbox="509 1335 654 1367">Foto N° 1.1</p>	 <p data-bbox="1105 907 1253 938">Foto N° 1.2</p>  <p data-bbox="1105 1314 1253 1346">Foto N° 1.3</p>
<p>Se utilizó el método de caída de potencial para la medida de la resistencia de puesta a tierra.</p>	<p>Para la medida de la resistencia de puesta a tierra se aplicó el método de la intersección de curvas</p>
<p>Valor oficial de la resistencia de puesta a tierra: 2,22 Ω</p>	<p>El valor oficial de la resistencia de puesta a tierra: 2,25 Ω. Se anexa protocolo de la medida de la resistencia de la malla (Anexo B)</p>



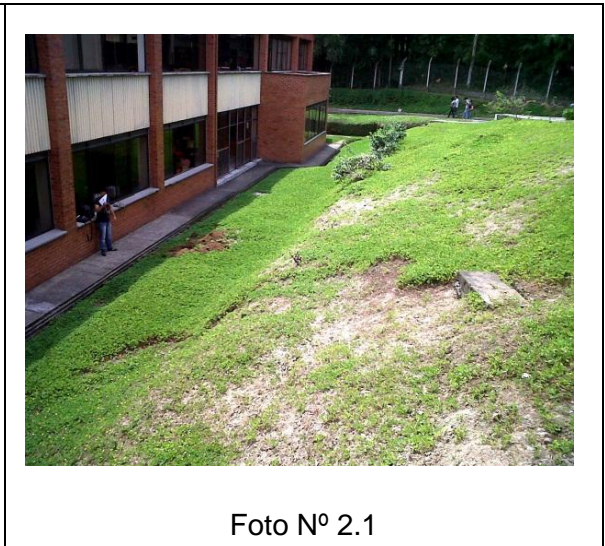
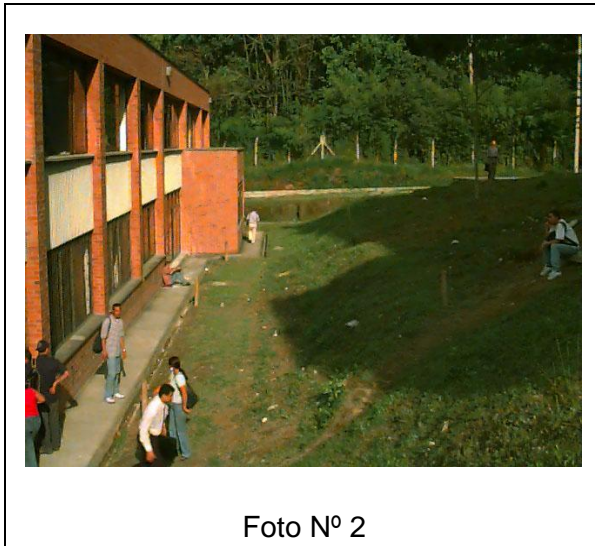
Observaciones:

- La variación que se presenta en el perfil de resistividad del terreno se puede presentar por los siguientes factores:
 - Temperatura
 - Compactación del terreno
 - Humedad del terreno.
- El valor de la resistencia de puesta a tierra no presenta un cambio muy significativo en comparación al resultado obtenido en el estudio realizado en el año 2003.
- El formato de medición del perfil de resistividad se encuentra en el anexo A.
- En el estudio realizado en el año 2003 el perfil de resistividad fue obtenido en el lugar en el que hoy en día se encuentra ubicada la puesta a tierra de este bloque, para este estudio dicho perfil fue tomado cerca a el lugar donde se realizan las prácticas de taller eléctrico dos (lado izquierdo-centro del edificio No 5 de sur a norte, según mapa general de la U.T.P), lo cual fue una causa para que se encontrara una variación en los perfiles de resistividad del terreno de los dos estudios.
- No se utilizó el método de la caída de potencial para la medición del sistema de puesta a tierra, puesto que la malla existente hoy en día en el edificio de eléctrica es de gran tamaño, por tal motivo fue necesario utilizar el método de intersección de curvas para la medición de la misma.

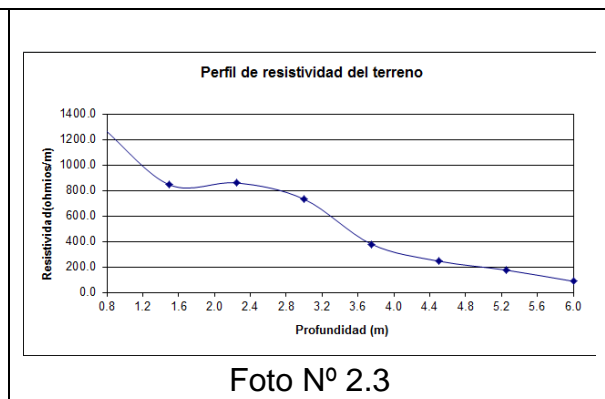
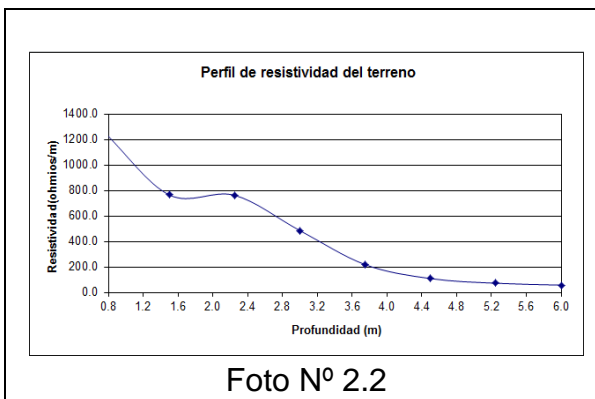
5.2 SITIO DE ESTUDIO: EDIFICIO DE BIBLIOTECA MALLA PRINCIPAL

Ubicación: Parte inferior del edificio No 16 de sur a norte. Según mapa general de la U.T.P.

AÑO 2003	AÑO 2012
----------	----------



Se utilizó el método de caída de potencial para la medida de la resistencia de puesta a tierra.	Para la medida del sistema de puesta a tierra se aplico el método de caída de potencial.
El valor oficial de la resistencia de puesta a tierra: 1,16 Ω .	El valor oficial de la resistencia de puesta a tierra: 1,17 Ω . Se anexa protocolo de la medida de la resistencia de la malla (Anexo M)



Observaciones

- Al realizar la inspección visualmente se aprecia que el sistema de puesta a tierra cumple con las siguientes normativas:
 - Tipos de electrodo de cobre [NEC 250-91].
 - Unión del cable con el electrodo soldadas [NEC 250-112].
 - Calidad de los conductores buena [NEC 250-91].
 - Calibre del conductor del sistema de puesta a tierra [NFPA 7803-12].
- La malla está bien construida garantizando la seguridad de los equipos y personas de dicho bloque. Se considera que esta bien construida por las siguientes razones:
 - Tiene electrodos de cobre según NEC 250-91, además de que se conservan en buen estado.
 - La malla presenta buenas uniones del cable a los electrodos según NEC 250-112.
 - Se utiliza el calibre adecuado para la conexión entre electrodos.
- Referente al perfil de resistividad del terreno se presentan pequeños cambios que pueden ser provocados por las condiciones climatológicas que se presentaron a la hora de hacer la medición.
- El formato de medición del perfil de resistividad se encuentra en el anexo N.

Recomendaciones

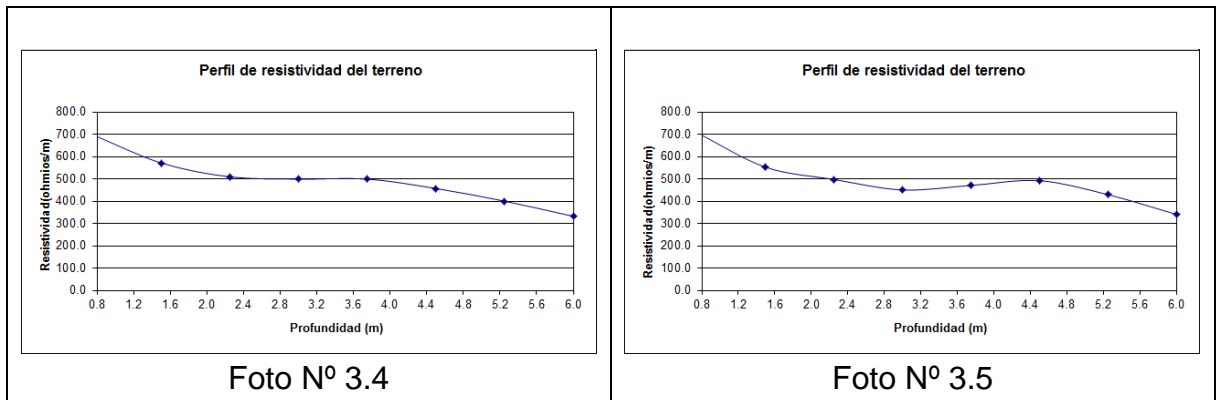
- Se debe hacer un anillo de apantallamiento en la parte superior e inferior del edificio, el cual una todas las bajantes en la parte superior e inferior de la edificación, con el cable que une a la javalina derivadora a tierra de descargas eléctricas atmosféricas. (NTC 4552)

5.3 SITIO DE ESTUDIO: EDIFICIO DE BIBLIOTECA TRANSFORMADOR

Ubicación: Lado superior izquierdo del edificio No 16 de sur a norte, según mapa general de la U.T.P. (Planos planeación U.T.P.)

AÑO 2003	AÑO 2012
	
<p>Foto N° 3</p>	<p>Foto N° 3.2</p>
	
<p>Foto N° 3.1</p>	<p>Foto N° 3.3</p>

<p>No se pudo medir la resistencia de puesta a tierra, ya que se presenta una alta tensión en el electrodo que se utiliza para tal efecto.</p>	<p>Para la medición del sistema de puesta a tierra se aplicó el método de caída de potencial.</p>
<p>El valor oficial de la resistencia de puesta a tierra: No hay valor.</p>	<p>El valor oficial de la resistencia de puesta a tierra: 52,50 Ω. Se anexa protocolo de la medida de la resistencia de la malla (Anexo L).</p>



Observaciones

- Se observa que efectivamente se le hizo la revisión al transformador puesto que en el año 2003 al realizar la medición del sistema de puesta a tierra este no presento valor debido a la alta tensión que se presentaba en el electrodo, por el contrario al volver a tomar la medida del sistema de puesta a tierra en el año 2012 este ya presenta un valor de 52.50Ω.
- Referente al perfil de resistividad del terreno no se nota un cambio muy grande.
- El formato de medición del perfil de resistividad se encuentra en el anexo K.

Recomendaciones

- Las altas tensiones que se pueden presentar en un sistema de puesta a tierra pueden ser provocadas por un valor de resistencia muy elevado, por consiguiente es necesario hacerle una revisión periódica al transformador para evitar que haya un desplazamiento del punto de equilibrio del sistema provocando una alta tensión.

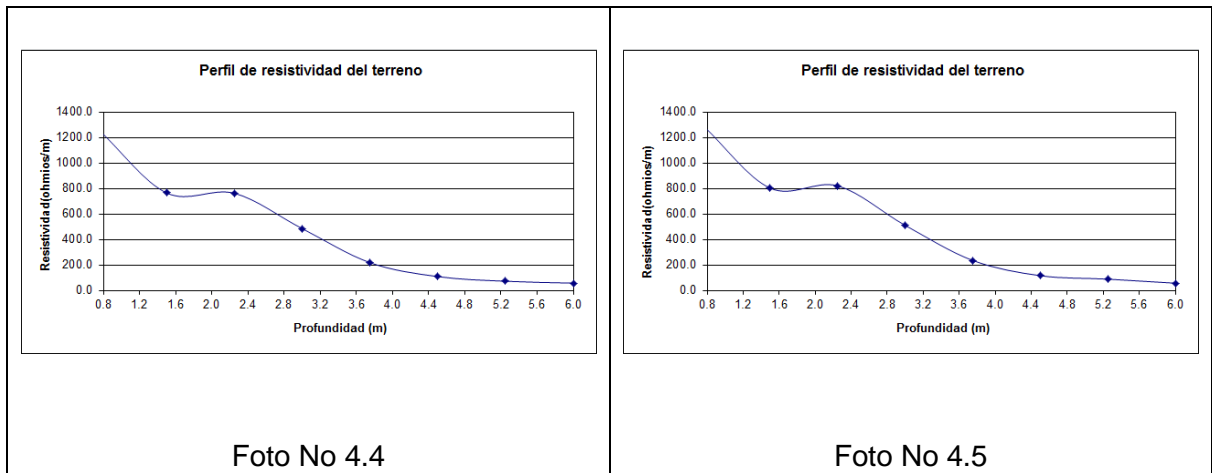
5.4 SITIO DE ESTUDIO: EDIFICIO DE BIBLIOTECA PARTE POSTERIOR

Ubicación: La izquierdo inferior del edificio No 15 de sur a norte, según mapa general de la U.T.P. (Planos planeación U.T.P.)

AÑO 2003	AÑO 2012
----------	----------

 <p data-bbox="526 877 651 909">Foto N° 4</p>	 <p data-bbox="1114 884 1263 915">Foto N° 4.2</p>
 <p data-bbox="513 1331 667 1362">Foto N° 4.1</p>	 <p data-bbox="1114 1331 1263 1362">Foto N° 4.3</p>

<p data-bbox="297 1419 870 1535">Se utilizó el método de caída de potencial para la medida de la resistencia de puesta a tierra.</p>	<p data-bbox="894 1419 1468 1535">Para la medición del sistema de puesta a tierra se aplicó el método de caída de potencial.</p>
<p data-bbox="297 1587 870 1667">El valor oficial de la resistencia de puesta a tierra: 68,1 Ω.</p>	<p data-bbox="894 1587 1468 1751">El valor oficial de la resistencia de puesta a tierra: 54,97 Ω. Se anexa protocolo de la medida de la resistencia de la malla (Anexo E).</p>



Observaciones

- Debido a el tamaño de la malla del sistema de puesta a tierra no fue necesario usar un método diferente al de la caída de potencial para hallar o medir su valor.
- El valor de la resistencia de puesta a tierra presenta un cambio, el cual puede deberse al estado del terreno debido a las condiciones climatológicas presentes en el momento de realizar la medición.
- El cambio del valor de la resistencia del sistema de puesta a tierra también se debe a que este sistema ya se encuentra bajo tierra provocando así un pequeño aislamiento que varía su valor, condiciones que NO presentaba este sistema de puesta a tierra anteriormente.
- El formato de medición del perfil de resistividad se encuentra en el anexo F.

Recomendaciones

- Establecer como único sistema de puesta a tierra la malla general.
- Montaje de barraje en el tablero principal del edificio, para la tierra. [NEC-250-24(a)(4)]
- Establecer una conexión con un conductor apropiado desde la malla hasta el barraje general de puesta a tierra. [NEC-250-94]
- Establecer una conexión equipotencial entre los barrajes de neutro y tierra en el tablero principal del edificio. [NEC-250-79]

5.5 SITIO DE ESTUDIO: EDIFICIO DE QUÍMICA.

Ubicación: Jardín interior del edificio No 12 de sur a norte. Según mapa general de la U.T.P.

AÑO 2003	AÑO 2012
 <p data-bbox="516 911 651 940">Foto No 5</p>	 <p data-bbox="1105 911 1263 940">Foto No 5.2</p>
 <p data-bbox="506 1335 660 1365">Foto No 5.1</p>	 <p data-bbox="1105 1335 1263 1365">Foto No 5.3</p>
<p data-bbox="297 1463 868 1581">Se utilizó el método de caída de potencial para la medida de la resistencia de puesta a tierra.</p>	<p data-bbox="891 1463 1468 1581">Para la medición del sistema de puesta a tierra se aplicó el método de caída de potencial.</p>
<p data-bbox="297 1631 868 1709">El valor oficial de la resistencia de puesta a tierra: 75,86 Ω</p>	<p data-bbox="891 1631 1468 1793">El valor oficial de la resistencia de puesta a tierra: 45,73 Ω. Se anexa protocolo de la medida de la resistencia de la malla (Anexo O).</p>

Observaciones

- A la hora de la medición de la resistencia de puesta a tierra se encontró que uno de los tres electrodos de la malla esta desenterrado.
- No se pudo realizar la medida de la resistividad del terreno, ya que no se encontró un terreno apropiado para dicha medición.

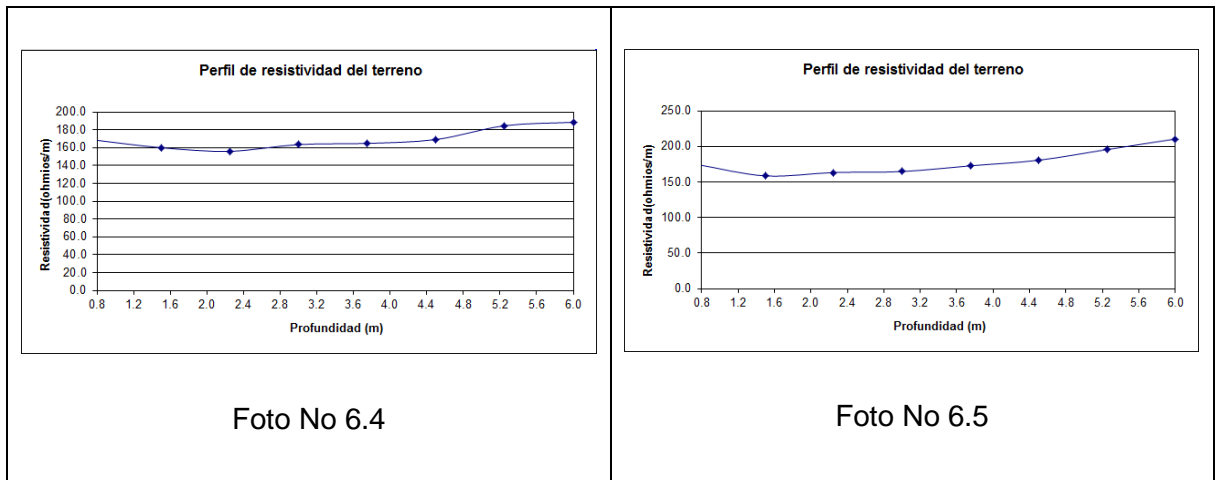
Recomendaciones

- Ubicar apropiadamente la malla, para que no presente riesgos para las personas.

5.6 SITIO DE ESTUDIO: EDIFICIO DE MECÁNICA.

Ubicación: Lado izquierdo-centro del edificio No 7 de sur a norte, según mapa general de la U.T.P. (Planos planeación U.T.P.)

AÑO 2003	AÑO 2012
	
<p>Foto N° 6</p>	<p>Foto N° 6.2</p>
	
<p>Foto N° 6.1</p>	<p>Foto N° 6.3</p>
<p>Se utilizó el método de caída de potencial para la medida de la resistencia de puesta a tierra.</p>	<p>Para la medición del sistema de puesta a tierra se aplicó el método de caída de potencial.</p>
<p>El valor oficial de la resistencia de puesta a tierra: 1,24 Ω.</p>	<p>El valor oficial de la resistencia de puesta a tierra: 1,07 Ω. Se anexa protocolo de la medida de la resistencia de la malla (Anexo G).</p>



Observaciones

- El estado del terreno (Húmedo o Seco) puede afectar el valor de su resistividad.
- El formato de medición del perfil de resistividad se encuentra en el anexo H.
- El estado del sistema de puesta a tierra presenta un cambio en su valor no muy significativo en comparación al resultado obtenido en el estudio realizado en el año 2003.

Recomendaciones

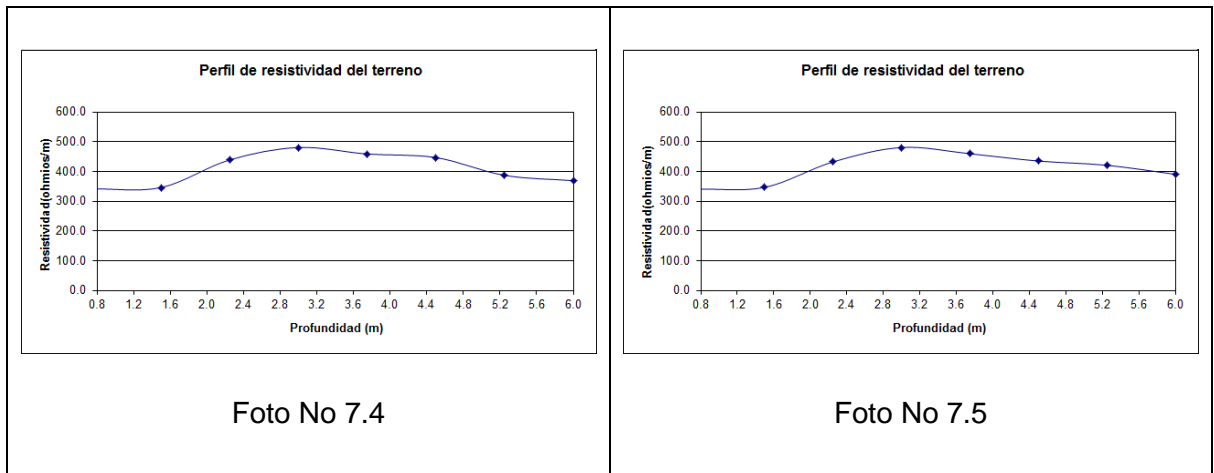
- Se deben construir las recámaras de inspección, con el fin de seguir monitoreando el estado del sistema cada vez que sea necesario.

5.7 SITIO DE ESTUDIO: EDIFICIO DE MEDICINA.

Ubicación: Lado izquierdo-centro del edificio No 19 de sur a norte, según mapa general de la U.T.P. (Planos planeación U.T.P.)

AÑO 2003	AÑO 2012
	
Foto N° 7	Foto N° 7.2
	
Foto N° 7.1	Foto N° 7.3

Se utilizó el método de caída de potencial para la medida de la resistencia de puesta a tierra.	Para la medición del sistema de puesta a tierra se aplicó el método de caída de potencial.
El valor oficial de la resistencia de puesta a tierra: 1,29 Ω.	El valor oficial de la resistencia de puesta a tierra: 1,37 Ω. Se anexa protocolo de la medida de la resistencia de la malla (Anexo I).



Observaciones

- La profundidad del cable de la malla no supera los veinticinco (25) centímetros.
- El formato de medición del perfil de resistividad se encuentra en el anexo J.

Recomendaciones

- Se debería estudiar la posibilidad de evaluar la protección contra descargas eléctricas atmosféricas (evaluar NTC 4552- 1642). También se debe estudiar con más detenimiento la equipotencialización del área o del salón donde se encuentran los servidores.
- Es necesario revisar las uniones del sistema de puesta a tierra, debido que al hacer la inspección se encontró un cable reventado y esto es causa de un mal funcionamiento del sistema, sin mencionar el riesgo al cual están sometidos los equipos electrónicos y las personas.

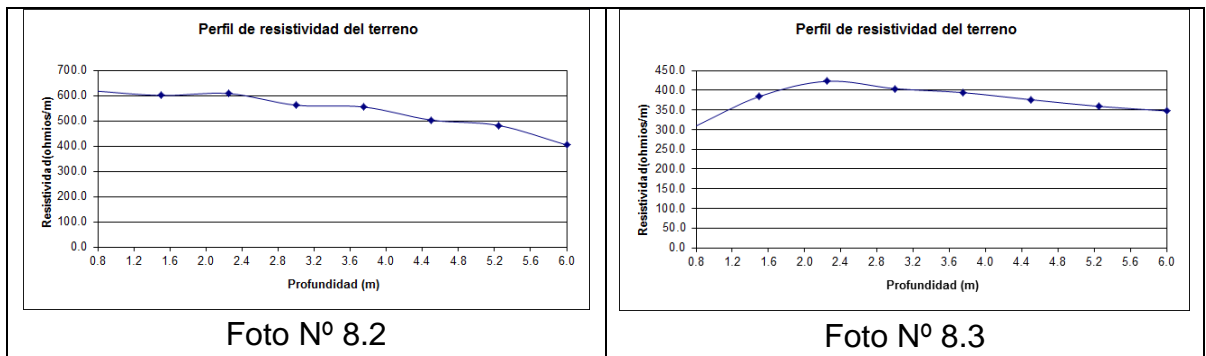
5.8 SITIO DE ESTUDIO: EDIFICIO DEL PLANETARIO.

Ubicación: La derecha inferior del edificio No 15 de sur a norte, según mapa general de la U.T.P. (Planos planeación U.T.P.).

AÑO 2003	AÑO 2012
----------	----------



<p>Se utilizó el método de caída de potencial para la medida de la resistencia de puesta a tierra.</p>	<p>Para la medición del sistema de puesta a tierra se aplicó el método de caída de potencial.</p>
<p>El valor oficial de la resistencia de puesta a tierra: 349,33 Ω.</p>	<p>El valor oficial de la resistencia de puesta a tierra: 251 Ω. Se anexa protocolo de la medida de la resistencia de la malla (Anexo C).</p>



Observaciones

- El formato de medición del perfil de resistividad se encuentra en el anexo D.
- El valor de la resistencia de puesta a tierra presenta un cambio, el cual puede deberse al estado del terreno debido a las condiciones climatológicas presentes en el momento de realizar la medición.
- El valor tan alto de la resistencia de puesta a tierra permite que en cualquier momento, una descarga eléctrica pueda generar en el sitio gradientes de potencial elevados.

Recomendaciones

- Traer la acometida desde el otro edificio con su respectiva referencia y eliminar el sistema de puesta a tierra existente.

5.9 SITIO DE ESTUDIO: EDIFICIO DE BIBLIOTECA JARDIN INTERNO

Ubicación: jardín interno del edificio no 16, según mapa general de la U.T.P.
(planos planeación U.T.P.)

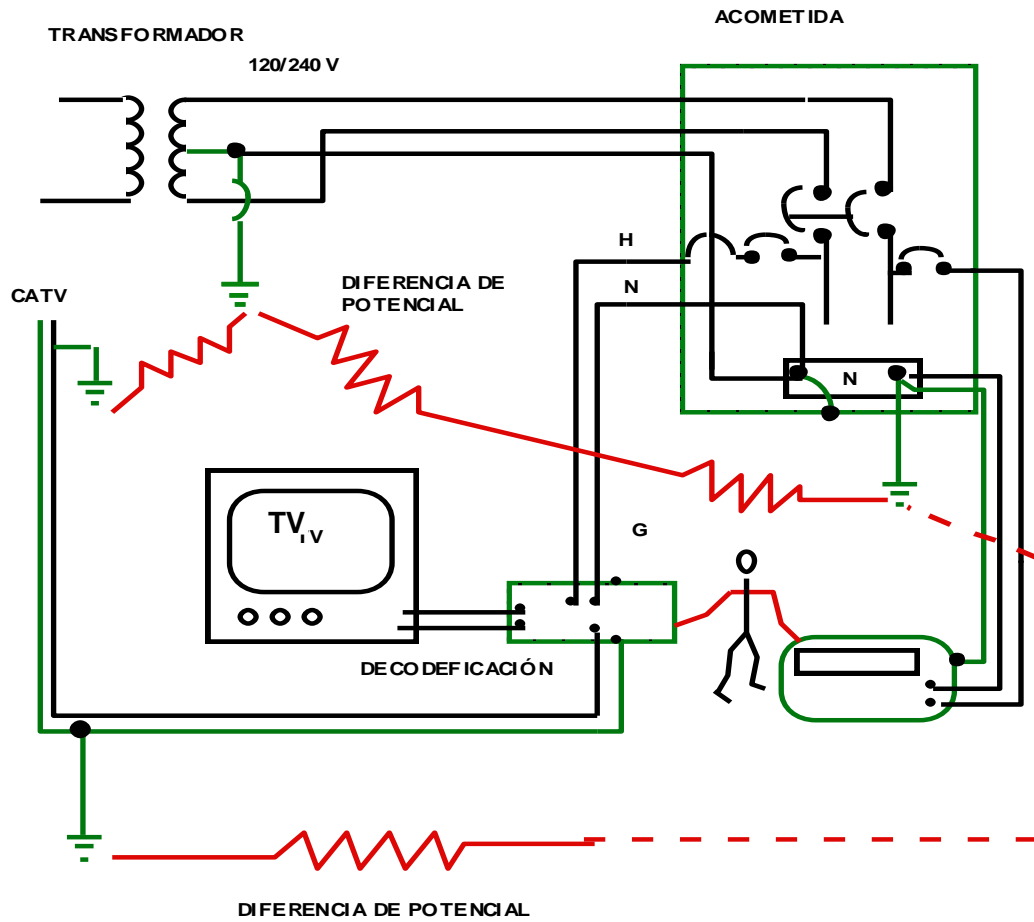
AÑO 2003	AÑO 2012
 <p data-bbox="428 951 586 982">Foto N° 9.4</p>	

Observaciones:

- No se pudo realizar la medida de resistividad del terreno debido a que no se disponía de espacio ni disponibilidad logística para realizar dicha acción.
- Análisis del caso:

La existencia de varios sistemas de puesta a tierra no es conveniente para las instalaciones eléctricas de un edificio. Este tipo de práctica permite la aparición de potenciales entre equipos y partes del sistema eléctrico del edificio que pueden poner en peligro tanto a las personas como a los equipos.

Figura 21 - Diferencias de potenciales



- En la figura 21 se puede apreciar la aparición de estos potenciales debido a la utilización de sistemas de puesta a tierra independientes.

6. EQUIPO UTILIZADO EN EL ESTUDIO

El equipo utilizado para realizar el estudio de los sistemas de puesta a tierra, es:

- DIGITAL GROUND RESISTENTE TESTER
- Fabricante: AEMC® Instruments
- Modelo: 4500
- Serie: 12G36572

Las características técnicas del equipo se detallan en el Anexo:AF.

Figura 22 - Equipo AEMC 4500 y accesorios



Este equipo fue asignado al Programa de Tecnología Eléctrica, por parte de la Universidad Tecnológica de Pereira, para que desarrollara específicamente el estudio de los sistemas de puesta a tierra.

Para iniciar el trabajo se hizo necesario verificar el estado de calibración del equipo, para tal efecto se envió a el laboratorio de calibración “Sistemas e Instrumentación S.A”, compañía que asegura el mantenimiento de la trazabilidad de los patrones de referencia utilizados en las mediciones de verificación de equipos, con los patrones “National Institute of Standard and technology” (NIST).

Se anexa copia del informe de calibración del equipo AEMC 4500. (Ver Anexo AE).

Además de la calibración del equipo se hizo necesario establecer el manual de procedimientos técnicos para ejecutar cada prueba geoelectrónica, este trabajo se logró a través de la asistencia a varios seminarios y contactos con autoridades nacionales en la materia.

En este documento se consignaron todos los procedimientos técnicos y administrativos para realizar cualquier prueba geoelectrónica que conduzca a medir la resistividad del suelo y evaluar la resistencia de puesta a tierra de un sistema eléctrico, con miras a ofrecer un servicio a las empresas de la región y compañías eléctricas.

De acuerdo a lo inmediatamente escrito, todas las pruebas geoelectricas realizadas que se hicieron en el desarrollo de este trabajo, cumplieron con las normas y los estándares para ejecución de las mismas.

Con respecto a los equipos auxiliares, se utilizaron los siguientes elementos para realizar las pruebas geoelectricas: (Ver figura 22 y 23)

1. Electrodo de cobre – cobre de 5/8" x 0,5 m.
2. Cable tipo vehículo calibre 14 AWG, el cual se utilizó para cablear los electrodos que se ubican en el terreno y el telurómetro.
3. Cintra métrica.
4. Maceta.

Figura 23 - Equipo auxiliar para realizar pruebas.



7. INFORMACIÓN DEL DISCO ANEXO

Se anexa disco con toda la información de este documento como también el plano general de la Universidad donde se ubican todos los puntos analizados en el estudio.

En este plano se precisa el sitio donde se realizaron las medidas. Para una fácil identificación a cada sitio de prueba se le asigno una o varias letras que corresponde a la información plasmada en cada anexo.

Contenido del disco.

- Informe final del estudio de los sistemas de puesta a tierra de la Universidad Tecnológica de Pereira. – Documento en formato Word.
- Carpeta de las medidas de puesta a tierra. – Formato Excel
- Carpeta de las medidas de la resistividad del suelo. – Formato Excel.
- Plano general de ubicación de las medidas (UbicacionAnexos-PlanoUTP). – Formato Autocad.
- Información técnica de los equipos de medida. AEMC 4500. (Ver Anexo AF).

8. CONCLUSIONES

- Por facilidad para hacer la medida de resistividad del terreno es recomendable usar el método de Wenner.
- El uso adecuado de los aparatos de medición de resistividad garantiza valores correctos y confiables.
- El valor de la resistividad de un terreno puede variar o ser afectado por factores, como la temperatura, humedad o la compactación del terreno.
- Para poder instalar un sistema de puesta a tierra, es imprescindible conocer el valor de resistividad que tiene el terreno, para que el sistema de puesta a tierra sea eficiente.
- Es necesario conocer el tamaño de la malla para poder determinar que método de medición de resistencia de puesta a tierra es el apropiado.
- Para el buen diseño y montaje de un sistema de puesta a tierra se deben de conocer claramente las normativas correspondientes, garantizando así una excelente respuesta por parte del montaje en el momento de ser necesaria su intervención.
- Una puesta a tierra bien construida que cumpla con las diferentes normativas, permite que cualquier fuga eléctrica que se produzca busque la tierra como destino en forma inmediata, de esta manera evitando así una descarga sobre las personas y los mismos equipos eléctricos y electrónicos que se encuentren en una edificación.

9. BIBLIOGRAFIA

[1] SANZ ALZATE, Jorge Humberto, Estudio de los sistemas de Puesta a Tierra de la Universidad Tecnológica de Pereira, Pereira Marzo de 2003. Universidad Tecnológica de Pereira.